

A Supply Chain Network Design for Managing Hospital Solid Waste

Mohammad Nikzamir Ph.D. in Industrial Engineering, North Branch, Islamic Azad University, Tehran, Iran.

Vahid Baradaran* Associate Professor, Industrial Engineering Department, North Branch, Islamic Azad University, Tehran, Iran.

Yunes Panahi Professor, Pharmacotherapy Department, Faculty of Pharmacy, Baqiyatallah University of Medical Sciences, Tehran, Iran.

Abstract

Health care solid wastes include all types of waste that are produced as a result of medical and therapeutic activities in hospitals and health centers. About 15% to 20% of these waste materials are infectious waste, which falls within the category of hazardous materials. Infectious waste is the one that must be treated before disposal or recycling. Hence, this paper seeks to develop a bi-objective mixed integer programming model for the infectious waste management. In the proposed model, in addition to minimizing the chain costs, the reduction of risks for the population exposed to the spread of contamination resulting from infectious waste is also considered. For this purpose, a multi-echelon chain is proposed by taking into account the green location-routing problem, which involves the location of recycling, disposal, and treatment centers through various treatment technologies and routing of vehicles between treatment levels and the hospital. The routing problem has been considered to be multi-depot wherein the criterion of reducing the cost of fuel consumption of heterogeneous cars is used for green routing. Finally, a hybrid meta-heuristic algorithm based on ICA and GA is developed and, following its validation, its function in solving large-scale problems has been investigated. Results show that the proposed algorithm is effective and efficient.

Keywords: Infectious Waste Management, Mathematical Programming, Location-Routing Problem, Imperialist Competitive Algorithm, Genetic Algorithm

* Corresponding Author: V_baradaran@iau-tnb.ac.ir

How to Cite: Nikzamir, M., Baradaran, V. and Panahi, Y (2021). A Supply Chain Network design for Managing Hospital Solid Waste, *Industrial Management Studies*, Vol.19 No 60, Spring 2021

Received:13/2/2019

Accepted:20/1/2021

ISSN:22518029

eISSN:

طراحی یک شبکه زنجیره تأمین به منظور مدیریت پسماندهای بیمارستانی

محمد نیک‌ضییر ID

دکتری، مهندسی صنایع، دانشگاه آزاد اسلامی واحد تهران شمال، تهران، ایران.

*وحید برادران ID

دانشیار، گروه مهندسی صنایع، دانشگاه آزاد اسلامی واحد تهران شمال، تهران، ایران.

یونس پناهی ID

استاد، دانشکده داروسازی، دانشگاه علوم پزشکی بقیه الله (عج)، تهران، ایران.

چکیده

پسماندهای حوزه‌ی بهداشت و درمان شامل تمام تمام پسماندهایی است که براساس فعالیت‌های پزشکی و درمانی در بیمارستان‌ها و مراکز درمانی تولید می‌شوند. حدود ۱۵ تا ۲۰ درصد این زباله‌ها را زباله‌های عفونی تشکیل می‌دهند که در زمرة‌ی مواد خطرناک قرار می‌گیرند. زباله‌های عفونی زباله‌هایی هستند که قبل از انهدام یا بازیافت باید بی‌خطرسازی شوند. از این‌رو در این مقاله جهت مدیریت زباله‌های عفونی، یک مدل برنامه‌ریزی عدد صحیح مختلط دوهدفه توسعه داده می‌شود. در مدل پیشنهادی علاوه بر کمینه‌سازی هزینه‌های زنجیره، کاهش رسیک جمعیت در معرض انتشار آلودگی ناشی از زباله‌های عفونی نیز مدنظر قرار گرفته است. برای این منظور یک زنجیره چندسطحی، با در نظر گرفتن مسئله مکان‌یابی-مسیریابی سبز ارایه می‌شود که در آن به مکان‌یابی مراکز بازیافت، دوربری و پالایش با تکنولوژی‌های پالایش مختلف و مسیریابی وسایط نقلیه بین سطوح پالایش و بیمارستان پرداخته می‌شود. مسئله مسیریابی به صورت چندباره در نظر گرفته شده و از معیار کاهش هزینه‌ی مصرف سوخت خودروهای ناهمگن، جهت مسیریابی سبز بهره گرفته می‌شود. در نهایت یک الگوریتم فرالبتکاری تلفیقی مبتنی بر الگوریتم رقابت استعماری و الگوریتم زنتیک توسعه داده می‌شود و پس از اعتبارسنجی آن، به بررسی عملکرد آن در حل مسائل با ابعاد بزرگ پرداخته می‌شود که نتایج حاصل از آن حاکی از کارایی و عملکرد مناسب الگوریتم پیشنهادی است.

کلیدواژه‌ها: مدیریت پسماندهای عفونی، برنامه‌ریزی ریاضی، مسئله مکان‌یابی-مسیریابی، الگوریتم رقابت استعماری، الگوریتم زنتیک.

مقاله حاضر برگرفته از رساله دکتری رشته مهندسی صنایع دانشگاه آزاد اسلامی واحد تهران شمال است.

نویسنده مسئول: V_baradaran@iau-tnb.ac.ir *

مقدمه

از زمان انقلاب صنعتی حجم و تنوع زباله‌ها آنقدر زیاد شد که کم کم به یک مسئله بسیار مهم تبدیل شد. این رشد چشم‌گیر زباله‌ها باعث به وجود آمدن مشکلاتی شد که مهم‌ترین آن مربوط به محیط زیست و سلامت افراد جامعه می‌شود. از این‌رو، مدیریت زباله‌ها، توجه محققین و مسئولین را به خود جلب کرد و راهکارهای گوناگونی برای نحوه‌ی جمع‌آوری، حمل و نقل، پردازش، بازیافت یا انهدام زباله‌ها ارایه شد (Ferronato et al., 2020).

زباله‌های مربوط به حوزه‌ی بهداشت و درمان، نوعی از زباله‌ها هستند که شامل هر دو گروه خطرناک و غیرخطرناک هستند و محدوده‌ی وسیعی از مواد را شامل می‌شوند. به عبارت دیگر، اصطلاح زباله‌های بهداشت و درمان، شامل تمام زباله‌هایی است که در مراکز بهداشتی، مراکز تحقیقاتی و آزمایشگاه‌های مربوط به پزشکی تولید می‌شوند. علاوه بر این، زباله‌هایی که در خانه‌ها به منظور مراقبت‌های پزشکی نیز تولید می‌شوند در این دسته از زباله‌ها قرار می‌گیرند (Chartier, 2014). بنابراین، طراحی یک شبکه زنجیره تأمین مناسب به منظور مدیریت زباله‌های حوزه بهداشت و درمان یکی از چالش‌های اصلی این حوزه است؛ چرا که عدم مدیریت مناسب آن علاوه بر آلودگی زیست‌محیطی، بیمارستان و مراکز بهداشت و درمان را با مشکلات جدی مواجه خواهد کرد. بررسی ادبیات موضوع نشان می‌دهد که در طراحی شبکه‌های حوزه بهداشت و درمان، معیار کمینه‌سازی هزینه‌ها به تنها‌یی ملاک طراحی شبکه نیست و توجه به موضوعات انسان دوستانه از اهمیت زیادی برخوردار است. علاوه بر این انتخاب مکان‌های مناسب برای جمع‌آوری، بازیافت و دورریز زباله‌ای عفونی و انتخاب تکنولوژی پالایش مناسب از جمله تصمیمات استراتژیکی است که عدم انتخاب مناسب آن هزینه‌های قابل توجهی به زنجیره تحمیل کرده و ریسک زنجیره را افزایش می‌دهد. همچنین توجه به تصمیمات تاکتیکی مانند مسیریابی و سایط نقلیه به منظور جمع‌آوری زباله‌های عفونی از بیمارستان‌ها، تأثیر به سزاگی در کاهش هزینه‌ها و علی‌الخصوص کاهش ریسک جمعیت در معرض خطر خواهد داشت. از این‌رو در این مقاله یک مدل برنامه‌ریزی خطی عدد صحیح مختلط دو هدفه جهت مدیریت زباله‌ای عفونی بیمارستان‌ها توسعه داده می‌شود. مدل ارایه شده به کمینه‌سازی توأمان هزینه‌های زنجیره و ریسک افراد در معرض انتشار آلودگی‌های عفونی می‌پردازد. برای این منظور، جمعیت افراد موجود در هر مسیر تخمین زده شده و برای انتخاب مسیرهای بهینه،

علاوه بر کاهش هزینه، به کم جمعیت بودن مسیر نیز توجه می‌شود. علاوه بر این مدل ارایه شده به طور یکپارچه به مکانیابی مراکز بازیافت و دورریز و مسیریابی بهینه وسایط نقلیه جهت جمع‌آوری زباله‌های عفونی از بیمارستان‌ها می‌پردازد و برای پالایش زباله‌های عفونی چندین تکنولوژی در دسترس است که براساس معیارهای هزینه راهاندازی، ظرفیت و نرخ پالایش قابل بازیافت، مدل تصمیم می‌گیرد که کدام یک را انتخاب کند. در نهایت به دلیل این که مسایل مکانیابی - مسیریابی جز دسته مسایل NP-hard (Rabbani et al., 2018)، یک الگوریتم فرالبتکاری مبتنی بر الگوریتم رقابت استعماری و الگوریتم ژنتیک برای حل مسایل در ابعاد مختلف توسعه داده خواهد شد.

ساختار مقاله بدین صورت است که در ادامه در بخش دوم پیشینه ادبیات ارایه می‌شود. بخش سوم مربوط به بیان مسئله و مدل پیشنهادی است. رویکرد حل و الگوریتم فرالبتکاری پیشنهادی در بخش چهارم آورده شده و سپس در بخش پنجم نتایج عددی حاصل از اجرای مدل توسط داده‌های شبیه‌سازی شده در ابعاد مختلف پیاده‌سازی می‌شود. به منظور بررسی عملکرد مدل، در بخش ششم تحلیل حساسیت روی مقادیر ضرایب تابع هدف صورت گرفته و در نهایت در بخش هفتم و هشتم به ترتیب دیدگاه مدیریتی و نتیجه‌گیری بیان می‌شود.

پیشینه پژوهش

مطالعات انجام گرفته در حوزه مدیریت زباله‌های بهداشت و درمان قابل تقسیم به چند دسته می‌باشند؛ ولی به طور کلی می‌توان آن‌ها را به دو دسته‌ی عفونی و غیرعفونی تقسیم‌بندی کرد. بررسی زباله‌ها از نظر ماهیت و ترکیب فیزیکی، به انتخاب و طراحی روشی مناسب جهت دفع این پسماندها کمک می‌کند (Altin et al., 2003). برای طراحی سیستم‌های پالایش پسماندهای بیمارستانی دانستن میزان حجم زباله‌ها و ترکیب آن‌ها امری ضروری است. تولید و ترکیب زباله‌های پزشکی به تعداد و نوع بخش‌ها در هر بیمارستان، تعداد بیماران بستری شده و نیز درمان سرپایی بستگی دارد (Komilis et al., 2011). داشتن تعریف دقیق از زباله‌های عفونی و غیرعفونی و آموزش کارکنان به منظور جداسازی زباله در محل تولید با هدف کاهش میزان زباله‌های عفونی که کمک قابل توجه‌ای به کاهش هزینه‌ها و ریسک‌های سلامت و محیط می‌شود، رابطه مستقیم دارند (Askarian et al., 2010).

توسط آلاگوز و کوکاسوی^۱ (۲۰۰۸)، روش‌های جداسازی، جمع‌آوری، ذخیره‌سازی موقع و حمل و نقل زیاله در داخل و خارج از مراکز بهداشتی شهر استانبول مورد بررسی قرار گرفته و با در نظر گرفتن الزامات سازمان‌های ملی و بین‌المللی اقدام به بهبود شرایط و از بین بردن نواقص کردند. در اقدامی دیگر، الخطیب و ساتو^۲ (۲۰۰۹) با جمع‌آوری اطلاعات مربوط به مقادیر تولید، جمع‌آوری، جداسازی، پالایش، حمل و نقل و دفع نهایی به ارزیابی شیوه‌های مدیریت سلامت مراکز بهداشتی در کرانه باختری - قلمرو فلسطین پرداختند که با مقایسه نتایج با الزامات بین‌المللی متوجه فاصله داشتن از استانداردهای جهانی و لزوم رسیدگی به این مطلب شدند.

استفاده از مدل‌های برنامه‌ریزی ریاضی در حوزه‌های مختلف مدیریت پسماندهای بیمارستانی بخصوص حمل و نقل نیز مورد توجه محققین بوده است. یک سیستم کامپیوتری مبتنی بر ویژوال بیسیک و مدل برنامه‌ریزی ریاضی جهت حل مسئله مسیریابی و زمانبندی وسایط نقلیه به منظور جمع‌آوری زباله‌های عفونی توسط شیه و چانگ^۳ (۲۰۰۱) توسعه داده شد. آن‌ها از یک رویکرد حل دو مرحله‌ای برای حل مسئله خود استفاده کردند. نخست با استفاده از برنامه‌ریزی پویا جزء‌بندی بهینه صورت گرفته و در مرحله دوم، یک مدل برنامه‌ریزی عدد صحیح مختلط برای زمانبندی و مسیریابی به کار گرفته شد. به منظور بررسی کارایی و اثربخشی رویکرد پیشنهادی، آن را به ازای داده‌های مربوط ۳۴۸ بیمارستان در شهر تایتان اجرا کردند.

به منظور مدیریت زباله‌های بهداشت و درمان شانمو گاساندارام و همکاران^۴ (۲۰۱۲) با استفاده از ابزار برنامه‌ریزی ریاضی و سیستم اطلاعات جغرافیایی، توزیع فضایی مکان‌های تولید زباله‌های زیاد، محل قرار دادن تأسیسات پالایش متمرکز و طراحی مسیرهای بهینه حمل و نقل برای جمع‌آوری زباله‌ها را در کشور لائوس تحلیل و برنامه‌ریزی کردند. به دلیل این که امکان بازیافت برخی از زباله‌ها وجود دارد، به کارگیری مدل‌های برنامه‌ریزی ریاضی جهت شبکه‌های برای زباله‌های بیمارستانی کارا و مؤثر هستند. در این راستا شی^۵ (۲۰۰۹) یک مدل برنامه ریزی عدد صحیح مختلط خطی با هدف

1. Alagöz & Kocasoy

2. Al-Khatib & Sato

3. Shih & Chang

4. Shanmugasundaram et al.

5. Shi et al.

کمینه‌سازی هزینه‌ها به منظور طراحی یک شبکه لجستیک معکوس برای زباله‌های بیمارستانی توسعه داد. زنجیره مورد مطالعه توسط او شامل سطوح بیمارستان‌ها، مراکز جمع‌آوری، مراکز پردازش و کارخانه است که مکان‌یابی مراکز جمع‌آوری و پردازش توسط مدل صورت می‌پذیرد. در نهایت مدل پیشنهادی با استفاده از یک مثال عددی توسط نرم‌افزار لینگو اجرا شد.

یک مسئله مسیریابی موجودی احتمالی برای جمع‌آوری زباله‌های بهداشتی توسط نولز و همکاران^۱ (۲۰۱۴) ارائه شد. آن‌ها برای این منظور از یک مدل احتمالی دو مرحله‌ای بهره گرفتند که در مرحله اول مسیرهای بهینه توسط هر وسیله نقلیه مشخص می‌گردد و در مرحله دوم تعداد جعبه‌های تخصیص داده شده به هر داروخانه تعیین می‌گرددند. علاوه بر این‌ها، مدل‌سازی مسئله مسیریابی جهت حمل و نقل زباله‌های بیمارستانی با مطالعه شرایط حاکم در بیمارستان در تونس توسط هاچیچا و همکاران^۲ (۲۰۱۴) انجام شد. آن‌ها یک مدل برنامه‌ریزی عدد صحیح مختلط خطی تک‌هدفه با هدف کمینه‌سازی هزینه‌های حمل و نقل جهت طراحی یک شبکه زنجیره تأمین زباله‌های بیمارستانی با در نظر گرفتن مسئله مسیریابی ظرفیت‌دار توسعه دادند و از رویکرد بهینه‌سازی استوار برای حل مسئله خود تحت شرایط عدم قطعیت بهره بردن. نتایج حاصل از اجرای مدل به ازای ۱۲ بیمارستان در نرم‌افزار سیپلکس نشان‌دهنده‌ی دقت و صحت عملکرد مدل پیشنهادی آن‌هاست. یک مدل مبتنی بر برنامه‌ریزی عدد صحیح مختلط خطی چندهدفه برای مکان‌یابی مراکز پالایش، بازیافت و دفع زباله‌های بیمارستانی و مسیریابی وسایط نقلیه جهت جمع‌آوری زباله‌ها از بیمارستان‌ها توسط جقتایی‌نوایی و همکاران (۱۳۹۵) ارایه شد. مدل ارایه شده توسط آن‌ها دارای چهار تابع هدف شامل کمینه‌سازی هزینه‌ها، کمینه‌سازی ریسک جمعیتی در طول مسیر، کمینه‌سازی ریسک جمعیتی در مراکز دفع و پالایش و بیشینه‌سازی قابلیت اطمینان مسیرهای حمل زباله است. آن‌ها از یک رویکرد مبتنی بر الپی‌متريک برای تک‌هدفه کردن و حل مدل خود بهره گرفتند. جهت مدیریت هزینه‌ها در مسئله‌ی جمع‌آوری زباله‌های بیمارستانی مدلی توسط منزاراس و وودریاس^۳ (۲۰۱۷) توسعه داده شد که ظرفیت و محل مراکز پالایش و ظرفیت وسایل نقلیه و مسیرهای انتقال در آن در

1. Nolz et al.

2 .Hachicha et al.

3. Mantzaras & Voudrias

نظر گرفته شده است. یک رویکرد ترکیبی مبتنی بر فرایند تحلیل سلسله مراتبی، برنامه‌ریزی آرمانی و الگوریتم ژنتیک جهت مکانیابی - مسیریابی برای دفع زباله‌های عفونی توسط ویچاپا و خوجاجایکیات^۱ (۲۰۱۸) توسعه داده شد. برای این منظور ابتدا فاکتورهای ارزیابی مکان‌های کاندید دفع، با استفاده از روش فرایند تحلیل سلسله مراتبی ارزیابی شده و سپس توسط یک مدل ریاضی و روش برنامه‌ریزی آرمانی با اهداف کمینه‌سازی هزینه‌ها و پیشنهادی وزن محل‌های دفع، مکان مناسب جهت دفع زباله‌های عفونی انتخاب شد. سپس با استفاده از الگوریتم ژنتیک، مسیرهای بهینه تعیین شدند. بایانی تیرکلایی و همکاران^۲ (۲۰۱۹)، یک مدل برنامه‌ریزی ریاضی عدد صحیح مختلط خطی با در نظر گرفتن مسئله مسیریابی وسایط نقلیه و پنجره زمانی برای طراحی شبکه جمع‌آوری زباله‌های شهری توسعه دادند. آن‌ها از الگوریتم شبیه‌سازی تبرید برای حل مسئله خود بهره گرفتند. در مقاله دیگری که توسط بایانی تیرکلایی و همکاران (۲۰۲۰) ارایه گردید، یک مدل برنامه‌ریزی ریاضی عدد صحیح مختلط خطی چنددهدفه به منظور مدیریت پسماندهای بیمارستانی در شرایط اپیدمی ویروس کرونا فرمولبندی شد. آن‌ها از روش محدودیت شانس برای در نظر گرفتن عدم قطعیت در تقاضا استفاده کردند و با استفاده از یک رویکرد حل مبتنی بر روش برنامه‌ریزی آرمانی فازی، مدل چنددهدفه خود را تحت شرایط عدم قطعیت حل کردند. یک مدل برنامه‌ریزی ریاضی دو هدفه با هدف کمینه‌سازی کل هزینه‌ها و کمینه‌سازی ریسک‌های حمل و نقل به منظور طراحی یک شبکه جمع‌آوری و انهدام زباله‌های بیمارستانی خطرناک تحت شرایط عدم قطعیت توسط همایونی و پیشوایی^۳ (۲۰۲۰) ارایه شد. آن‌ها از رویکرد بهینه‌سازی استوار برای در نظر گرفتن عدم قطعیت استفاده کردند و در نهایت مدل پیشنهادی خود را با استفاده از روش محدودیت اپسیلون حل کردند. به طور مشابه، کارگر و همکاران^۴ (۲۰۲۰)، یک مدل ریاضی به منظور جمع‌آوری پسماندهای عفونی بیمارستان‌ها در شرایط اپیدمی ویروس کرونا توسعه دادند. آن‌ها از یک رویکرد برنامه‌ریزی ریاضی با هدف کمینه‌سازی هزینه‌ها و کمینه‌سازی ریسک‌های حمل و نقل برای این منظور استفاده کردند. نیک‌ضمیر و برادران^۵ (۲۰۲۰)

1. Wichapa & Khokhajaikiat

2. Babaee Tirkolaee et al.

3. Homayouni & Pishvae

4. Kargar et al.

5. Nikzamir & Baradaran

یک شبکه برای جمع‌آوری و مدیریت زباله‌های بیمارستانی در شرایط اپیدمی ویروس کرونا با در نظر گرفتن مسئله مکان‌بایی-مسیریابی پیشنهاد دادند. آن‌ها برای این منظور از یک مدل برنامه‌ریزی ریاضی عدد صحیح مختلط دوهدفه شامل کمینه‌سازی هزینه‌ها و انتشار آلودگی بهره گرفتند و با استفاده از یک الگوریتم چنددهفه جدید، مسئله خود را حل کردند. در ادامه به منظور بررسی نوآوری این مقاله با سایر مقالات در سال‌های اخیر، در جدول ۱ تفاوت‌ها و شباهت‌های این مقاله با سایر مقالات آورده شده است.

جدول ۱. خلاصه‌ای از پیشینه ادبیات مربوط به حوزه جمع‌آوری پسماندها

نویسنده	مراکز										
	نویزدین	باز	باز	فرمایش	کار	تبلیغات	انتشار آزاد	باز	باز	آلودگی	الگوریتم حل
Hajar et al. (2018)	-	-	*	*	-	-	*	-	*	*	دقیق
Wichapa & Khokhajaikiat (2018)	*	-	*	-	-	-	*	*	*	*	فرابنکاری
Babaei Tirkolae et al. (2019)	-	-	-	-	*	-	*	-	-	-	فرابنکاری
Gergin et al. (2019)	*	-	-	*	-	-	-	*	-	-	فرابنکاری
Babaei Tirkolae et al. (2020)	*	-	-	*	*	-	*	*	*	*	دقیق
Homayouni & Pishvaee (2020)	*	*	*	-	-	-	-	*	*	*	دقیق
Kargar et al. (2020)	*	-	*	*	-	-	*	*	*	*	دقیق
Nikzamir & Baradaran (2020)	*	*	*	-	*	*	*	*	*	*	فرابنکاری
این مقاله	*	*	*	*	*	*	*	*	*	*	فرابنکاری

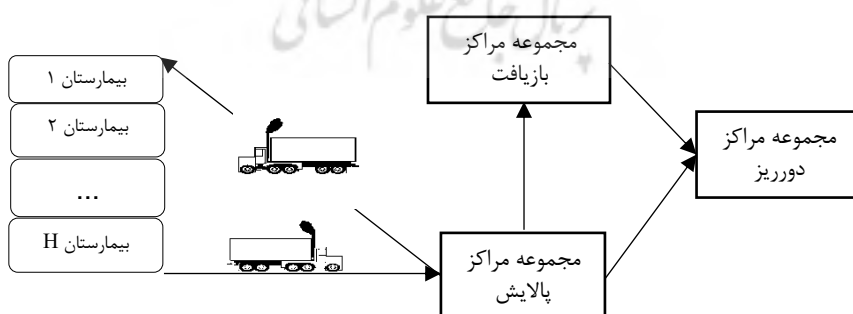
روش

هدف از این مقاله طراحی یک شبکه برای جمع‌آوری زباله‌های عفونی بیمارستانی و امکان بی‌خطرسازی آن‌ها برای استفاده مجدد است. برای این منظور همان‌طور که در شکل ۱ نشان داده شده است، وسایط نقلیه از مراکز پالایش به سمت بیمارستان‌ها حرکت کرده و پس از جمع‌آوری تمام زباله‌های عفونی، مجدد به مراکز پالایش باز می‌گردد. مراکز

پالایش که مجهز به تکنولوژی‌های بی‌خطرسازی هستند، زباله‌ها را پالایش می‌کنند و آن‌هایی که قابل استفاده مجدد باشند به مراکز بازیافت و باقیمانده را به مراکز دورریز ارسال می‌کنند تا منهدم شوند. در مراکز بازیافت نیز ممکن است مقداری از زباله‌های پالایش شده شناسایی شوند که قابلیت بازیافتی نداشته باشند؛ آن‌ها نیز به مراکز دورریز ارسال خواهند شد. به منظور شناخت هر چه بهتر مسأله و شبکه مورد مطالعه، در ادامه مفروضات مربوط به مدل پیشنهادی آورده شده است:

- زنجیره مورد بررسی به صورت چندسطحی و چندمحصولی در نظر گرفته شده است.
- مکان جغرافیایی بیمارستان‌ها مشخص بوده ولی سایر مراکز توسط مدل پیشنهادی مکان‌یابی خواهند شد.
- مسیریابی بین سطوح بیمارستان‌ها و مراکز پالایش انجام می‌گیرد.
- وسایط نقلیه و مراکز به صورت ظرفی‌دار در نظر گرفته شده‌اند.
- وسایط نقلیه ناهمگن هستند؛ یعنی از نظر ظرفیت، قیمت خرید و میزان مصرف سوت با یکدیگر تفاوت دارند.
- امکان بازدید هر بیمارستان توسط هر خودرو حداکثر یکبار است، اما ممکن است چندین خودرو یک بیمارستان را بازدید نمایند. به عبارت دیگر شکست تقاضا در نظر گرفته شده است و این امکان وجود دارد که پسماندهای یک بیمارستان توسط چند وسیله نقلیه برداشت شود.
- هر خودروی خریداری شده باید به یک مرکز پالایش تخصیص یابد.
- مسأله مسیریابی از نوع چندانباره در نظر گرفته شده است.

شکل ۱. شبکه زنجیره‌ی مورد بررسی



اندیس‌های تعریف شده برای مدل ریاضی به شرح زیر است:

i	زیاله عفوونی	$i \in \{1, 2, \dots, I\}$
h, h'	بیمارستان	$h, h' \in \{1, 2, \dots, H\}$
f	تکنولوژی پالایش	$f \in \{1, 2, \dots, F\}$
c	مرکز پالایش	$c \in \{1, 2, \dots, C\}$
r	مرکز بازیافت	$r \in \{1, 2, \dots, R\}$
d	مرکز دورریز	$d \in \{1, 2, \dots, D\}$
k	وسایط نقلیه	$k \in \{1, 2, \dots, K\}$
t	دوره زمانی	$t \in \{1, 2, \dots, T\}$

همچنین پارامترهای تعریف شده برای مدل ریاضی به شرح زیر است:

$OT_{c,f}$	هزینه راهاندازی مرکز پالایش c با تکنولوژی پالایش f
OR_r	هزینه راهاندازی مرکز بازیافت r
OD_d	هزینه راهاندازی مرکز دورریز d
OV_k	هزینه تأمین وسیله نقلیه k
$PR_{i,c,f}^t$	هزینه پالایش هر واحد زیاله عفوونی i در مرکز پالایش c توسط تکنولوژی پالایش f در دوره زمانی t
$PR_{i,r}^t$	هزینه بازیافت هر واحد زیاله عفوونی i پالایش شده در مرکز بازیافت r در دوره زمانی t
$PR_{i,d}^t$	هزینه انهدام هر واحد زیاله عفوونی i پالایش شده در مرکز دورریز d در دوره زمانی t
$TR_{i,c,r}^t$	هزینه حمل و نقل هر واحد زیاله عفوونی i پالایش شده از مرکز پالایش c به مرکز بازیافت r در دوره زمانی t
$TR_{i,c,d}^t$	هزینه حمل و نقل هر واحد زیاله عفوونی i پالایش شده از مرکز پالایش c به مرکز دورریز d در دوره زمانی t
$TR_{i,r,d}^t$	هزینه حمل و نقل هر واحد زیاله عفوونی i از مرکز بازیافت r به مرکز دورریز d در دوره زمانی t
$cap_{c,f}$	ظرفیت مرکز پالایش c مجهز به تکنولوژی f
cap_r	ظرفیت مرکز بازیافت r
cap_d	ظرفیت مرکز دورریز d
cap_k	ظرفیت وسیله نقلیه k
$dis_{h',h}$	فاصله مکانی بین بیمارستان h' و بیمارستان h
$dis_{h,c}$	فاصله مکانی بین بین بیمارستان h و مرکز پالایش c

$w_{i,h}^t$	میزان زیاله عفونی i تولید شده توسط بیمارستان h
$p_{i,c,f}$	نرخ زیاله عفونی i قابل بازیافت به دست آمده توسط تکنولوژی f در مرکز پالایش c
$p_{i,r}$	نرخ زیاله عفونی i دورریز شده توسط مرکز بازیافت r
$population_{h',h}$	میزان جمعیت واقع شده مسیر بین بیمارستان h' و بیمارستان h
fvt_k	میزان مصرف سوخت در واحد مسافت توسط وسیله نقلیه k
p_{fuel}	قیمت هر واحد سوخت
$M \sim \infty$	عدد بسیار بزرگ
متغیرهای تصمیم مسئله ریاضی عبارتند از:	
$\alpha_{c,f}$	اگر مرکز پالایش c با تکنولوژی پالایش f راهاندازی گردد در غیر این صورت
α_r	اگر مرکز بازیافت r راهاندازی شود در غیر این صورت
α_d	اگر مرکز دورریز d راهاندازی شود در غیر این صورت
veh_k	اگر وسیله نقلیه k جهت جمع آوری زیاله‌های عفونی تأمین شود در غیر این صورت
$\beta_{k,c}$	اگر وسیله نقلیه k به مرکز پالایش c تخصیص داده شود در غیر این صورت
$tour_{k,h',h}^t$	اگر وسیله نقلیه k مسیر بین بیمارستان h' و بیمارستان h را در دوره زمانی t طی کند در غیر این صورت
$y_{i,k,c,h}^t$	میزان زیاله عفونی i جمع آوری شده از بیمارستان h توسط مرکز پالایش c با استفاده از وسیله نقلیه k در دوره زمانی t
$y_{i,k,h}^t$	میزان زیاله عفونی i موجود در وسیله نقلیه k هنگام ورود به بیمارستان h در دوره زمانی t
$z_{i,c,r}^t$	میزان زیاله عفونی i پالایش شده انتقالی از مرکز پالایش c به مرکز بازیافت r در دوره زمانی t
$z_{i,c,d}^t$	میزان زیاله عفونی i پالایش شده انتقالی از مرکز پالایش c به مرکز دورریز d در دوره زمانی t
$z_{i,r,d}^t$	میزان زیاله عفونی i پالایش شده انتقالی از مرکز بازیافت r به مرکز دورریز d در دوره زمانی t
بر اساس اندیس‌ها، متغیرها و پارامترهای تعریف شده، مدل ریاضی به شرح زیر است.	

$$\begin{aligned}
 Min \ z^{Cost} = & \sum_{c,f} OT_{c,f} \times \alpha_{c,f} + \sum_r OR_r \times \alpha_r + \sum_d OD_d \times \alpha_d + \\
 & \sum_k OV_k \times veh_k + \sum_{i,k,c,f,h,t} PR_{i,c,f}^t \times y_{i,k,c,h}^t + \sum_{i,c,r,t} PR_{i,r}^t \times z_{i,c,r}^t + \\
 & \sum_{i,c,d,t} PR_{i,d}^t \times z_{i,c,d}^t + \sum_{i,c,r,t} TR_{i,c,r}^t \times z_{i,c,r}^t + \sum_{i,c,d,t} TR_{i,c,d}^t \times z_{i,c,d}^t + \quad (\text{۱}) \\
 & \sum_{i,r,d,t} TR_{i,r,d}^t \times z_{i,r,d}^t + p^{fuel} \times \left(\sum_{k, \hat{h}, \hat{r}, \hat{c}, \hat{d}, \hat{t}} fvt_k \times tour_{k,\hat{h},\hat{r},\hat{c},\hat{d},\hat{t}}^t \right) \\
 & \sum_{k,h>1,c,t} fvt_k \times dis_{h,c} \times \beta_{k,c} \times (tour_{k,1,h}^t + tour_{k,h,1}^t) \\
 Min \ z^{Risk} = & \sum_{k,h',h,t} population_{h',h} \times tour_{k,h',h}^t \quad (\text{۲})
 \end{aligned}$$

Subjected to:

$$\sum_{i,k,h} y_{i,k,c,h}^t \leq cap_{c,f} \quad \forall c,f,t \quad (\text{۳})$$

$$\sum_{i,c} z_{i,c,r}^t \leq cap_r \quad \forall r,t \quad (\text{۴})$$

$$\sum_{i,r} z_{i,r,d}^t + \sum_{i,c} z_{i,c,d}^t \leq cap_d \quad \forall d,t \quad (\text{۵})$$

$$\sum_{i,h} y_{i,k,c,h}^t \leq cap_k \quad \forall k,c,t \quad (\text{۶})$$

$$\sum_{h'} tour_{k,h',h}^t = \sum_{h'} tour_{k,h,h'}^t \quad \forall k,h,t \quad (\text{۷})$$

$$\sum_{h'} tour_{k,h',h}^t \leq 1 \quad \forall k,h,t \quad (\text{۸})$$

$$\sum_c \beta_{kc} \leq 1 \quad \forall k \quad (\text{۹})$$

$$\sum_k \beta_{k,c} \leq M \times \alpha_{c,f} \quad \forall c,f \quad (\text{۱۰})$$

$$y_{i,k,h}^t + (1 - tour_{k,h',h}^t) \times M \geq y_{i,k,h'}^t + y_{i,k,c,h}^t \quad \forall i,k,c,h',h > 1, t \quad (\text{۱۱})$$

$$y_{i,k,1}^t \geq \sum_h y_{i,k,c,h}^t \quad \forall i,k,c,t \quad (\text{۱۲})$$

$$\sum_{k,c} y_{i,k,c,h}^t \geq w_{i,h}^t \quad \forall i,h,t \quad (\text{۱۳})$$

$$y_{i,k,c,h}^t \leq M \times \sum_{h'} tour_{k,h',h}^t \quad \forall i,k,c,h,t \quad (\text{۱۴})$$

$$y_{i,k,c,h}^t \leq M \times veh_k \quad \forall i,k,c,h,t \quad (\text{۱۵})$$

$$y_{i,k,c,h}^t \leq M \times \beta_{k,c} \quad \forall i, k, c, h, t \quad (16)$$

$$\sum_{k,h} y_{i,k,c,h}^t = \sum_r z_{i,c,r}^t + \sum_d z_{i,c,d}^t \quad \forall i, c, t \quad (17)$$

$$\sum_r z_{i,c,r}^t = \sum_{f,k,h} p_{i,c,f} \times y_{i,k,c,h}^t \quad \forall i, c, t \quad (18)$$

$$\sum_d z_{i,r,d}^t = \sum_c p_{i,r} \times z_{i,c,r}^t \quad \forall i, r, t \quad (19)$$

$$y_{i,k,c,h}^t \leq M \times \alpha_{c,f} \quad \forall i, k, c, f, h, t \quad (20)$$

$$z_{i,c,r}^t \leq M \times \alpha_r \quad \forall i, c, r, t \quad (21)$$

$$z_{i,c,r}^t \leq M \times \alpha_{c,f} \quad \forall i, c, f, r, t \quad (22)$$

$$z_{i,c,d}^t \leq M \times \alpha_d \quad \forall i, c, d, t \quad (23)$$

$$z_{i,r,d}^t \leq M \times \alpha_r \quad \forall i, r, d, t \quad (24)$$

$$z_{i,r,d}^t \leq M \times \alpha_d \quad \forall i, r, d, t \quad (25)$$

تابع هدف اول به کمینه‌سازی هزینه‌های زنجیره می‌پردازد؛ این هزینه‌ها شامل هزینه‌های راهاندازی مراکز پالایش، مراکز بازیافت، مراکز دورریز، هزینه خرید وسایط نقلیه، هزینه پالایش زباله‌ها در مراکز پالایش، هزینه بازیافت زباله‌ها، هزینه امداد، هزینه انتقال زباله‌ها از مراکز پالایش به بازیافت و دورریز و از مراکز بازیافت به دورریز و همچنین هزینه مصرف سوخت توسط وسایط نقلیه است. تابع هدف دوم به کمینه‌سازی ریسک جمعیت در معرض انتشار آلودگی ناشی از زباله‌های عفونی می‌پردازد.

عدم تجاوز از ظرفیت مراکز پالایش، بازیافت، دورریز و ظرفیت وسایط نقلیه به ترتیب در محدودیت‌های (۳) تا (۶) آورده شده است. محدودیت (۷) بیان می‌کند که اگر هر خودرو جهت جمع آوری زباله، به هر بیمارستان وارد شد، باید از آن بیمارستان خارج گردد. هر خودرو هر بیمارستان را حداکثر یکبار ویزیت می‌کند، اما این امکان وجود دارد که یک بیمارستان توسط چندین خودرو ویزیت شوند که این فرض توسط محدودیت (۸) پوشش داده شده است. طبق مفروضات مسئله مسیریابی، هر خودرو حداکثر باید به یک مرکز پالایش تخصیص داده شود؛ این مهم توسط محدودیت (۹) ارضا می‌شود. اگر مرکز پالایشی راهاندازی نشده باشد، نباید خودرویی به آن تخصیص داده شود؛ محدودیت (۱۰) تضمین کننده این شرط است. محدودیت‌های (۱۱) و (۱۲) مربوط به محدودیت حذف زیرتور در مسئله مسیریابی مورد بررسی است. محدودیت (۱۳) تضمین می‌نماید که تمامی

زباله‌ها از تمامی بیمارستان‌ها جمع‌آوری گردد. سه شرط اساسی جهت جمع‌آوری زباله‌ها این است که خودرو بیمارستان را ویزیت نماید، خودرو خریداری شده باشد و خودروی خریداری شده به یک مرکز پالایش تخصیص داده شود، که این شروط به ترتیب در محدودیت‌های (۱۴) تا (۱۶) آورده شده است. میزان زباله‌ی انتقالی از مراکز پالایش به مراکز بازیافت و دورریز توسط محدودیت‌های (۱۷) و (۱۸) محاسبه می‌گردد. همچنین میزان زباله‌ی انتقالی از مراکز بازیافت به مراکز دورریز در محدودیت (۱۹) نشان داده شده است. یکی از شروط اصلی مسأله‌ی مکان‌یابی این است که اگر مرکز راهاندازی نشده باشد، امکان ورود/ خروج محصول به/ از آن امکان پذیر نمی‌باشد. محدودیت‌های (۲۰) تا (۲۵) تضمین می‌کنند که اگر مرکزی تأسیس نشود امکان ورود/ خروج محصول به/ از آن محقق نشود.

درتابع هدف اول عبارات $tour_{k,h,h}^t \times \beta_{k,c}$ باعث غیرخطی شدن مدل شده است. برای خطی سازی آن، متغیر کمکی $t\beta_{k,h,h,c}^t$ تعریف می‌شود و این متغیر جایگزین عبارت غیرخطی مذکور می‌شود. سپس برای خطی سازی کافی است به جای تابع هدف اول، روابط (۲۶) تا (۳۰) جایگزین شود (Qazvini et al., 2016).

$$\begin{aligned} Min \quad z^{Cost} = & \sum_{c,f} OT_{c,f} \times \alpha_{c,f} + \sum_r OR_r \times \alpha_r + \sum_d OD_d \times \alpha_d + \\ & \sum_k OV_k \times vех_k + \sum_{i,k,c,f',h,t} PR_{i,c,f}^t \times y_{i,k,c,h}^t + \sum_{i,c,r,t} PR_{i,r}^t \times z_{i,c,r}^t + \\ & \sum_{i,c,d,t} PR_{i,d}^t \times z_{i,c,d}^t + \sum_{i,c,r,t} TR_{i,c,r}^t \times z_{i,c,r}^t + \sum_{i,c,d,t} TR_{i,c,d}^t \times z_{i,c,d}^t + \\ & \sum_{i,r,d,t} TR_{i,r,d}^t \times z_{i,r,d}^t + p^{fuel} \times (\sum_{k,\hat{h},\hat{r},\hat{c},\hat{d},\hat{t}} fvt_k \times tour_{k,\hat{h},\hat{r},\hat{c},\hat{d},\hat{t}}^t) \\ & \sum_{k,h>1,c,t} fvt_k \times dis_{h,c} \times (t\beta_{k,1,h,c}^t + t\beta_{k,h,1,c}^t) \end{aligned} \quad (26)$$

$$t\beta_{k,h',h,c}^t \leq \beta_{k,c} + (1 - tour_{k,h',h}^t) \times M \quad (27)$$

$$t\beta_{k,h',h,c}^t \leq tour_{k,h',h}^t + (1 - \beta_{k,c}) \times M \quad (28)$$

$$t\beta_{k,h',h,c}^t \geq 1 + (tour_{k,h',h}^t + \beta_{k,c} - 2) \times M \quad (29)$$

$$t\beta_{k,h',h,c}^t \leq (tour_{k,h',h}^t + \beta_{k,c}) \times M \quad (30)$$

رویکرد حل

برای حل مسأله در ابعاد بزرگ که روش حل دقیق از حل آن عاجز است، یک الگوریتم ترکیبی مبتنی بر رقابت استعماری و ژنتیک توسعه داده خواهد شد و از روش الپیتریک برای تک‌هدفه کردن مدل بهره گرفته می‌شود. بررسی ادبیات نشان می‌دهد که الگوریتم‌های فرالبتکاری زیادی وجود دارد که برای حل مسایل چندهدفه به کار می‌روند. برخی از آن‌ها از مفهوم حل چندهدفه به طور همزمان استفاده می‌کنند (مانند الگوریتم ازدحام ذرات چندهدفه) و برخی از آن‌ها مبتنی بر روش‌های تک‌هدفه کردن هستند. به دلیل این که حل مسایل چندهدفه با الگوریتم‌های چندهدفه از پیچیدگی‌های بالایی برخوردار است و امکان مقایسه جواب با استفاده از سنجه‌هایی صورت می‌گیرد که فرایند پیچیده‌ای دارد، به کارگیری روش‌های تک‌هدفه در الگوریتم‌های فرالبتکاری، راهکاریست که بسیاری از مقالات آن را مورد توجه قرار داده‌اند (Pakzad-Moghaddam et al., 2019; Khalifehzadeh et al., 2019) و در این مقاله نیز از این راهکار برای حل مسایل چندهدفه در ابعاد بزرگ بهره گرفته شده است. الگوریتم‌های تکاملی از جمله کاربردی-ترین روش‌های بهینه‌سازی محسوب می‌شوند. در مقابل روش‌ها و نرم‌افزارهای حل مدل-های تحقیق در عملیات حساسیت بسیار بالایی به عبارات غیرخطی در تابع هدف و محدودیت‌های مسأله از خود نشان می‌دهند. بنابراین با توجه به انبوه روابط پیچیده موجود در مدل فوق، واضح است که نرم‌افزارهای حل دقیق برای حل مسایل در ابعاد بزرگ کارایی ندارند. در نتیجه روش‌های تکاملی، با توجه به حساسیت بسیار پایینشان نسبت به پیچیدگی و غیرخطی بودن روابط به منظور یافتن سیاست‌های بهینه در سیستم فوق انتخاب شده‌اند.

الگوریتم رقابت استعماری را می‌توان به عنوان همتای الگوریتم ژنتیک اما بر گرفته از مفاهیم رشد و توسعه اجتماعی در نظر گرفت. در حقیقت پایه‌های این الگوریتم بر مبنای شبیه‌سازی نحوه تکامل اجتماعی بشر بنا شده‌است. فرآیند بهینه‌سازی در این الگوریتم با تولید جمعیتی اولیه شروع می‌شود. بر مبنای مفاهیم بنیادین الگوریتم رقابت استعماری جواب‌های تولیدی در این الگوریتم، اصطلاحاً کشور خوانده می‌شوند. هزینه هر جواب در حقیقت نشان دهنده قدرت آن کشور می‌باشد. کشورها با کمترین هزینه و بیشترین قدرت به عنوان امپراطور در راس امپراطوری‌ها قرار گرفته و دیگر کشورها را تحت سلطه و استعمار خود قرار می‌دهند (Atashpaz-Gargari & Lucas, 2007).

همگون‌سازی^۱ و انقلاب^۲ عملگرهای اصلی الگوریتم رقابت استعماری محسوب می‌شوند. عملگر همگون‌سازی برای حرکت دادن مستعمرات به طرف امپراطورها و کم کردن فاصله بین آن‌ها به کار می‌رود. عملگر انقلاب تغییراتی ناگهانی را در موقعیت برخی کشورها ایجاد می‌کند. همگون‌سازی‌ها و انقلاب‌های پیاپی باعث می‌شود تا برخی از مستعمرات از امپراطورهای خود پیشی گرفته و به عنوان امپراطور جدید در راس امپراطوری‌ها قرار گیرند (Nazari-Shirkouhi et al., 2010).

الگوریتم رقابت استعماری از به عنوان یکی از جدیدترین الگوریتم‌های تکاملی کارایی خود را در حل مسائل NP-hard به اثبات رسانیده است. نظری شیرکوه و همکاران^۳ (۲۰۱۰) در مقاله خود ادعا می‌کنند که الگوریتم رقابت استعماری عملکرد بسیار خوبی برای حل مسائل بهینه‌سازی گوناگون از خود نشان داده است. آتش‌بیز گرگری و لوکس^۴ (۲۰۰۷) برای اولین بار، الگوریتم رقابت استعماری را برای جستجوی هوشمند فضای جواب مسائل بهینه‌سازی پیوسته ارائه کردند. با توجه به پیچیدگی بالای روابط به کار رفته در مدل تحقیق در عملیات این پژوهش و طبیعت پیوسته متغیرهای تصمیم مساله، الگوریتم رقابت استعماری برای جستجوی فضای جواب مربوطه و یافتن سیاست‌های بهینه انتخاب شد.

در ارائه‌ی الگوریتم‌های بهینه‌سازی تکاملی علی‌الخصوص الگوریتم ژنتیک، علی‌رغم توجه به تکامل زیستی انسان و سایر موجودات، به تکامل اجتماعی و تاریخی او به عنوان پیچیده‌ترین و موفق‌ترین حالت تکامل، توجه چندانی نشده است. الگوریتم رقابت استعماری، با الهام گرفتن از تکامل اجتماعی انسان، جهت بهینه‌سازی توابع پیچیده توسعه داده شده است. این الگوریتم با تعدادی جمعیت اولیه آغاز می‌شود. در این الگوریتم، هر عنصر جمعیت یک کشور نامیده می‌شود. کشورها به دو دسته مستعمره و استعمارگر تقسیم‌بندی می‌شوند. هر استعمارگر، وابسته به قدرت خود، تعدادی از کشورهای مستعمره را به سلطه‌ی خود درآورده و آن‌ها را کنترل می‌کند. سیاست جذب و رقابت استعماری، هسته‌ی اصلی این الگوریتم را تشکیل می‌دهند. عملگر جذب برای حرکت دادن مستعمرات به طرف قوی‌ترین کشور هر امپراطوری استفاده می‌گردد. رقابت استعماری شبیه

1. Assimilation

2. Revolution

3. Nazari-Shirkouhi et al.

4. Atashpaz-Gargari & Lucas

ساز رفتار کشورهای استعمارگر به اضافه‌ی درصدی از میانگین قدرت مستعمرات آن تعریف می‌شود. یکی از شروط توافق این الگوریتم، از بین رفن تمام امپراتوری‌های ضعیف و یکی شدن همه‌ی آن‌هاست (Pakzad-Moghaddam et al., 2014).

از طرفی، علی‌رغم عملکرد درخشنان الگوریتم رقابت استعماری در جستجوی فضاهای پیوسته، این الگوریتم به تنها‌ی در بهینه سازی مسائل گستته، چندان کارا نمی‌باشد. بنابراین، در این پژوهش روشی جهت تلفیق قدرت جستجوی الگوریتم رقابت استعماری و قابلیت ابزارهای الگوریتم ژنتیک در بهبود جواب‌های گستته، با هدف حل مسئله‌ی مورد نظر در مقیاس‌های بزرگ ارائه شده است. در واقع، این روش تلفیقی، در نتیجه‌ی هماهنگ شدن عملگرهای جذب، رقابت استعماری، ترکیب متقطع، جهش و تولید تصادفی کروموزوم به عنوان عنصر جمعیت می‌باشد.

شبه کد الگوریتم فرالبتکاری تلفیقی پیشنهادی به شرح زیر است:

- ۱- داده‌های مربوط به صورت مسئله را بخوان.
- ۲- پارامترهای الگوریتم را مقدارهی کن.
- ۳- امپراتوری‌های اولیه را بساز.
- ۱-۳- کشورهای اولیه را به صورت تصادفی بساز.
- ۲-۳- قدرت هر کشور را با توجه به مقدار تابع هدف آن برآش کن.
- ۳-۳- امپراطورها و مستعمراتشان را بر مبنای قدرت کشورها مشخص کن.
- ۴-۳- قدرت هر امپراطوری را بر مبنای قدرت امپراطور و مستعمراتش محاسبه کن.
- ۴- حلقه زیر را تا جایی تکرار کن که تنها یک امپراطوری باقی بماند (حلقه اصلی الگوریتم).
- ۴-۱- عملگر جذب را فعال کن، مستعمرات را با امپراطورشان ترکیب متقطع داده و آن‌ها را به سمت امپراطور حرکت بده.
- ۴-۲- از عملگر جهش برای جستجوی موضعی امپراطورها و برخی مستعمراتشان استاده کن.
- ۴-۳- قدرت هر کشور را با توجه به مقدار تابع هدف آن برآش کن.
- ۴-۴- قوی ترین کشور در هر امپراطوری را به عنوان امپراطور جدید مشخص کن.
- ۴-۵- قدرت هر امپراطوری را بر مبنای قدرت امپراطور و مستعمراتش محاسبه کن.
- ۴-۶- مستعمرات ضعیف‌ترین امپراطوری را توسط عملگر رقابت استعماری بین بقیه امپراطوری‌ها تقسیم کن.
- ۵- نتایج را ذخیره کن و ارائه بده.

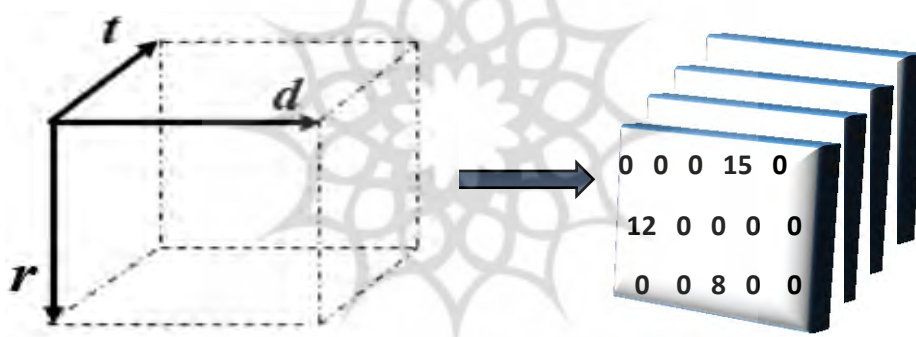
برای تشکیل کروموزوم این مسئله ابتدا یک ماتریس یک بعدی در نظر گرفته شده است که طول این ماتریس مطابق با شکل برابر با $|r| + |t| + |d| + |k|$ می‌باشد.

شکل ۲. ساختار کروموزوم شماره ۱ مسئله مورد بررسی

۱	...	$ r $	۱	...	$ t $	۱	...	$ d $	۱	...	$ k $
---	-----	-------	---	-----	-------	---	-----	-------	---	-----	-------

آرایه‌های ماتریس شکل ۲ به صورت صفر و یک می‌باشند، بدین معنی که اگر آرایه‌ای برابر با یک شد به معنای احداث تسهیل است. سپس با استفاده از جواب‌های تولید شده، کروموزوم‌های دو بعدی دیگری برای مشخص کردن میزان انتقال کالا بین تسهیلات استفاده می‌شود که ساختار آن در شکل ۳ آورده شده است.

شکل ۳. ساختار کروموزوم شماره ۲ مسئله مورد بررسی



در واقع بر اساس کروموزوم شکل ۳ احداث تسهیلات مشخص شده و بر اساس آن یک ماتریس سه بعدی به عنوان کروموزوم شماره ۲ تشکیل می‌شود که هریک از آرایه‌های این ماتریس میزان انتقال کالا را بین تسهیلات احداث شده نشان می‌دهد. همچنین، به ازای هر مقدار داخل داخل این ماتریس یه مقدار برای وسیله نقلیه انتخاب شده هم تخصیص داده می‌شود. باید توجه داشت که با توجه به محدودیت‌ها و منطق مسئله اعداد این ماتریس باید به صورت هوشمندانه تولید شوند تا جواب‌های تولید شده موجه باشند. پس از این که کروموزوم موجه تولید شد، سایر متغیرهای مسئله را می‌توان با توجه به آن بدست آورد. با توجه به نحوه مدل‌سازی این مسئله، حل ابتکاری آن دو مرحله‌ای خواهد بود، بدین معنی که ابتدا متغیرهای استراتژیک مسئله در قالب کروموزوم شماره ۱ پاسخ

داده می‌شوند و سپس با توجه به جواب‌های حاصل شده الگوریتم برای متغیرهای تاکتیکال مسئله اجرا شده تا جواب کلی مساله حاصل شود.

به منظور ایجاد عملگر ترکیب متقطع بین دو والد انتخاب شده، متناسب با کروموزوم شماره ۱ یک عدد تصادفی بین صفر و یک تولید می‌شود. اگر عدد تولید شده کوچکتر از $1/5$ باشد، احداث تسهیل از والد ۱ الگوبرداری می‌شود و اگر عدد تولید شده بین $0/5$ و ۱ باشد این تخصیص مطابق با تخصیص موجود در والد ۲ انتخاب خواهد شد. همان‌طور که اشاره شد، این عمل به ازای تمامی ارایه‌های ماتریس شماره ۱ انجام می‌شود. این روند برای کروموزوم شماره ۲ و در مرحله دوم این الگوریتم نیز صادق می‌باشد.

به منظور ایجاد عملگر جهش در کروموزوم‌های انتخاب شده، با توجه به درصد جهش، در هر ژن از کروموزوم انتخاب شده برای جهش، به مقدار مخالف موجود را تخصیص می‌یابد. در این حالت نیز مانند عملگر ترکیب متقطع ممکن است کروموزوم جهش یافته غیرموجه شود که برای اجتناب از رخدادن این اتفاق، هزینه‌ای برای این مورد در تابع برازنده‌گی در نظر گرفته شده است. در این مرحله، کار عملگر جهش به پایان می‌رسد و مجموعه‌ی استعمارگران و مستعمران بروز می‌شوند. بدین منظور، قدرت هر کشور بر مبنای تابع هدف معرفی شده در مدل ریاضی، محاسبه شده و قوی‌ترین کشورها در هر امپراطوری به عنوان امپراطور جدید شناخته می‌شوند. اکنون نوبت به فعال کردن عملگر رقابت استعماری در بین امپراطورها می‌رسد. در این مرحله، ضعیف‌ترین امپراطوری شناسایی شده و بخشی از مستعمرات آن با توجه به قدرت محاسبه شده برای سایر امپراطوری‌ها به شکلی احتمالی یا تصادفی بین آن‌ها تقسیم می‌شوند. الگوریتم فوق تا آن‌جا ادامه پیدا می‌کند که تمام امپراطوری‌های ضعیف بر اثر مرور زمان از هم پاشیده و تنها یک امپراطوری باقی بماند. تنها امپراطور باقیمانده به عنوان بهترین جواب ذخیره شده و به نمایش درمی‌آید. حداکثر میزان همگرایی یا حداکثر تکرارهای مجاز نیز به عنوان شروط دیگر توقف در نظر گرفته شده‌اند.

در این مقاله از روش الپی متریک برای حل مدل دو هدفه ارایه شده و تک‌هدفه کردن آن بهره گرفته خواهد شد. اساس روش ارایه شده، نرم‌افزاری توابع هدف و کمینه‌سازی مجموع وزنی میزان انحراف توابع هدف از مقادیر بهینه‌اشان است. اگرچه ماهیت این روش مانند روش‌های زیمرمن^۱ (۱۹۷۸)، ترابی و هسینی^۲ (۲۰۰۸)، لین^۳ (۲۰۱۲)

1. Zimmermann

و غیره، است، اما روش‌های بیان شده یک ضعف اساسی در مقایسه با روش الپی متريک دارند. در روش‌های مذکور، برای تشکیل تابع عضویت جهت نرمال‌سازی توابع هدف، باید برای هر تابع هدف حد بالا و پایین تخمین زده شود که گاهی این روند منجر به صرف زمان و محاسبات طولانی می‌شود و نیاز به خلاصت و ابتکار دارد. همچنین تخمین نادرست حدود بالا و پایین، ممکن است منجر به دست‌یابی به جواب‌های غیربهینه گردد. اما در روش الپی متريک پیشنهادی، جهت نرمال‌سازی توابع هدف، تنها باید مقادیر بهینه هر تابع هدف به صورت جداگانه محاسبه شود. در ادامه روش الپی متريک پیشنهادی آورده شده است:

$$z^{L-P} = \left(w_1 \times \left(\frac{z_1 - z_1^*}{z_1^*} \right)^p + w_2 \times \left(\frac{z_2^* - z_2}{z_2} \right)^p \right)^{\frac{1}{p}}$$

z_1 و z_2 به ترتیب نشان‌دهنده‌ی توابع هدف اول (از نوع شبیه‌سازی) و دوم (از نوع پیشنهادی) بوده و z_1^* و z_2^* مقادیر بهینه‌ی هر یک از توابع هدف است. زمانی که مدل پیشنهادی به ازای هر تابع هدف به صورت مجزا حل شده باشد. همچنین w_1 میزان اهمیت تابع هدف اول و w_2 میزان اهمیت تابع هدف دوم می‌باشد. پارامتر p نشان‌دهنده‌ی درجه تأکید بر انحراف موجود است و می‌تواند مقادیر یک تا بی‌نهایت را اختیار نماید ولی اگر مقادیری به جز ۱ و ∞ بگیرد، منجر به غیرخطی شدن مدل خواهد شد. در روش الپی متريک، تابع هدف مسئله به ازای $p=1$ به صورت،

$$\text{Min } z^{L-P} = w_1 \times \left(\frac{z_1 - z_1^*}{z_1^*} \right) + w_2 \times \left(\frac{z_2^* - z_2}{z_2} \right)$$

محدودیت‌ها قرار گرفته و سایر محدودیت‌ها بدون تغییر باقی خواهند ماند.

یافته‌ها

در این بخش به بررسی عملکرد مدل و الگوریتم پیشنهادی با استفاده از داده‌های شبیه‌سازی شده پرداخته شده است. در همین راستا، الگوریتمی جهت شبیه‌سازی داده‌ها ارایه شده و با استفاده از نرم‌افزار متلب، داده‌هایی در ابعاد مختلف (کوچک، متوسط و بزرگ) تولید می‌شوند. سپس مدل پیشنهادی به ازای داده‌های تولید شده در ابعاد کوچک

و متوسط در نرم افزار گمز اجرا می شود و برای حل مسئله در ابعاد بزرگ از الگوریتم فرالبتکاری پیشنهادی استفاده می شود. در جدول ۲، حدود پارامترها در الگوریتم، جهت شبیه سازی داده ها در ابعاد مختلف بیان شده است.

جدول ۲. حدود پارامترها در فرآیند تولید تصادفی داده های شبیه سازی

نام پارامتر	تابع توزع
i	توسط کاربر تعیین می گردد
h, h'	توسط کاربر تعیین می گردد
f	توسط کاربر تعیین می گردد
c	توسط کاربر تعیین می گردد
r	توسط کاربر تعیین می گردد
d	توسط کاربر تعیین می گردد
k	توسط کاربر تعیین می گردد
t	توسط کاربر تعیین می گردد
$OT_{c,f}$	Discrete uniform $\sim [170000000, 190000000]$
OR_r	Discrete uniform $\sim [10000000, 12000000]$
OD_d	Discrete uniform $\sim [6000000, 8000000]$
OV_k	Discrete uniform $\sim [3500000, 4500000]$
$PR_{i,c,f}^t$	Discrete uniform $\sim [1250, 1350]$
$PR_{i,r}^t$	Discrete uniform $\sim [2300, 2400]$
$PR_{i,d}^t$	Discrete uniform $\sim [2300, 2400]$
$TR_{i,c,r}^t$	Discrete uniform $\sim [75, 100]$
$TR_{i,c,d}^t$	Discrete uniform $\sim [75, 100]$
$TR_{i,r,d}^t$	Discrete uniform $\sim [75, 100]$

این پارامتر براساس مقادیر پارامتر W_{ih}^t به صورت زیر محاسبه می شود:

$$cap_{c,f} = \frac{\sum w_{ih}^t}{\text{Round}(3 \times \frac{i,h}{C})}$$

این پارامتر براساس مقادیر پارامتر $cap_{c,f}$ به صورت زیر محاسبه می شود:

$$cap_r = \frac{\sum cap_{c,f}}{\text{Round}(\text{uniform}[0.4, 0.6] \times \frac{c,f}{C \times F})}$$

$$cap_d$$

این پارامتر براساس مقادیر پارامترهای cap_r و $cap_{c,f}$ به صورت زیر محاسبه می‌شود:

$$\text{Round}((1 - \text{uniform}[0.4, 0.6]) \times \frac{\sum cap_{c,f}}{C \times F} + \frac{\sum cap_r}{\text{uniform}[0.15, 0.25] \times \frac{r}{R}})$$

این پارامتر براساس مقادیر پارامتر w_{ih}^t به صورت مقابله محاسبه می‌شود:

$$cap_k = \text{Round}(1.5 \times \frac{\sum w_{ih}^t}{K})$$

محل جغرافیایی $x_h, x_{h'}$ Discrete uniform $\sim [0, 50]$

بیمارستان‌ها $y_h, y_{h'}$ Discrete uniform $\sim [0, 50]$

محل جغرافیایی مرکز x_c Discrete uniform $\sim [0, 50]$

پالایش y_c Discrete uniform $\sim [0, 50]$

محاسبه فاصله اقلیدسی:

$$dis_{h',h} = \sqrt{(x_h - x_{h'})^2 + (y_h - y_{h'})^2}$$

محاسبه فاصله اقلیدسی:

$$dis_{h,c} = \sqrt{(x_h - x_c)^2 + (y_h - y_c)^2}$$

$w_{i,h}^t$ Discrete uniform $\sim [120, 160]$

$p_{i,c,f}$ Uniform $\sim [0.4, 0.6]$

$p_{i,r}$ Uniform $\sim [0.15, 0.25]$

$population_{h',h}$ Discrete uniform $\sim [3000, 4000]$

fvt_k Uniform $\sim [0.18, 0.22]$

p^{fuel} 1000

برای بررسی کارایی و اعتبار مدل پیشنهادی ۱۰ مسئله با استفاده از الگوریتم شبیه‌سازی داده‌ها (جدول ۲)، در ابعاد کوچک و متوسط تولید شده و مدل تحقیق در عملیاتی به ازای داده‌های تولید شده در نرم‌افزار گمز اجرا شده است. ابعاد ۱۰ مسئله نمونه تهیه شده توسط الگوریتم شبیه‌سازی داده‌ها در جدول ۳ آمده است.

جدول ۳. ابعاد مسائل کوچک و متوسط

شماره مسئله	زیاله عفونی	بیمارستان	تکنولوژی	مرکز بالایش	مرکز بازیافت	مرکز دورریز	وسایط نقلیه دوره زمانی	مرکز	۲	۲	۲	۲	۲	۲	۲	۲	۲	۲	۲
۱	۱	۱	۲	۲	۲	۲	۱	۱	۱	۱	۱	۱	۱	۱	۱	۱	۱	۱	۱
۲	۲	۲	۲	۲	۲	۲	۲	۲	۲	۲	۲	۲	۲	۲	۲	۲	۲	۲	۲
۳	۳	۳	۲	۲	۳	۳	۳	۳	۳	۴	۴	۴	۴	۴	۴	۴	۴	۴	۴
۴	۴	۴	۳	۳	۴	۴	۴	۴	۴	۵	۵	۵	۵	۵	۵	۵	۵	۵	۵
۵	۵	۵	۴	۴	۴	۴	۴	۴	۴	۶	۶	۶	۶	۶	۶	۶	۶	۶	۶
۶	۸	۸	۶	۶	۶	۶	۶	۶	۶	۶	۶	۶	۶	۶	۶	۶	۶	۶	۶
۷	۸	۸	۶	۶	۶	۶	۶	۶	۶	۷	۷	۷	۷	۷	۷	۷	۷	۷	۷
۸	۹	۹	۷	۵	۵	۵	۵	۵	۵	۷	۷	۷	۷	۷	۷	۷	۷	۷	۷

همان‌طور که در جدول ۳ نشان داده شده است، ابعاد مسئله از بالا به پایین در حال افزایش است و هر مقدار هر اندیس در مسئله بعد یا ثابت مانده یا افزایش یافته است. حال با استفاده از روش LP متريک مشروح در بخش قبلی، مسایل نمونه به ازاي $w_1 = 0.7$ و $w_2 = 0.3$ در نرم افزار GAMS win64 24.1.2/ Cplex در جدول ۴ مقادير توابع هدف و زمان اجرای هر يك از مسایل نمونه آورده شده است.

جدول ۴. مقادير تابع هدف و زمان اجرا با استفاده از نرم افزار گمس

شماره مسئله	تابع هدف اول	تابع هدف دوم	زمان اجرا
۱	۶۰۱۲۷۸۹۱۱	۱۶۸۲۲	۶/۱۵
۲	۶۷۹۴۱۱۲۸۰	۱۷۳۹۴	۱۴/۸۷
۳	۹۰۹۹۳۰۳۴۷	۳۷۲۲۰	۲۲/۰۱
۴	۱۰۱۱۸۰۰۹۷۰	۳۸۰۲۱	۴۵/۹۱
۵	۱۳۷۲۶۴۴۲۸۹	۵۵۷۶۵	۱۱۳/۶۹
۶	۱۵۰۹۴۸۴۳۱۹	۷۲۸۳۲	۲۰۷/۱۶
۷	۱۶۶۴۴۰۸۶۶۳	۹۵۲۷۲	۴۸۷/۱۵
۸	۱۸۱۵۲۶۷۷۵۷	۱۱۲۹۲۳	۶۱۴/۴۲
۹	۱۹۹۲۲۵۹۸۷۴	۱۱۸۳۵۲	۷۲۸/۴۴
۱۰	۲۱۱۳۷۴۵۶۱۶	۱۳۴۸۷۸	۸۸۵/۹۲

همان‌طور که مشاهده می‌کنید، مقادیر توابع هدف و زمان اجرا به ازای ۱۰ مسئله تولیدشده که نرم‌افزار حل دقیق قادر به حل آن‌ها در کمتر از ۱۰۰۰ ثانیه بوده است در زمرة مسائل کوچک و متوسط دسته‌بندی شده‌اند. حال برای بررسی عملکرد مدل پیشنهادی، در ابعاد بزرگ، از الگوریتم فرالبتکاری پیشنهادی استفاده خواهیم کرد. برای اعتبارسنجی الگوریتم ارایه شده، مسائل ابعاد کوچک و متوسط را با آن حل کرده و نتایج حاصل از آن را با نتایج حل دقیق مقایسه می‌نماییم. در جدول ۵ نتایج حاصل از حل مسائل ابعاد کوچک و متوسط توسط الگوریتم فرالبتکاری پیشنهادی آورده شده و در جدول ۶ مقایسه نتایج توابع هدف و زمان اجرای آن‌ها گزارش می‌شود.

جدول ۵. مقادیر تابع هدف و زمان اجرا با استفاده از الگوریتم فرالبتکاری پیشنهادی

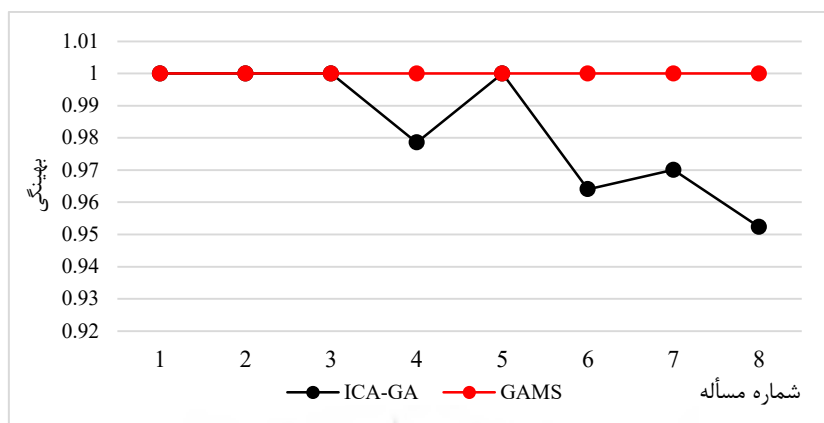
شماره مسئله	تابع هدف اول	تابع هدف دوم	زمان اجرا
۱	۶۵۱۲۷۸۹۱۱	۱۶۸۲۲	۴/۶۶
۲	۶۷۹۴۱۱۲۸۰	۱۷۳۹۴	۷/۸۵
۳	۹۰۹۹۳۰۳۴۷	۳۷۲۲۰	۱۲/۱۹
۴	۱۰۲۹۹۲۷۳۸۴	۳۹۱۴۸	۲۰/۵۱
۵	۱۳۷۲۶۴۴۲۸۹	۵۵۷۶۵	۴۷/۲۲
۶	۱۵۳۵۱۹۳۲۹	۷۵۴۷۲	۹۶/۴۸
۷	۱۷۱۵۸۶۷۱۸۶	۹۷۹۱۲	۱۳۷/۵۵
۸	۱۸۹۶۸۳۱۳۹۸	۱۱۹۰۱۶	۱۵۴/۱۲
۹	۲۰۰۴۵۵۴۳۵۹	۱۲۰۸۰۲	۱۷۰/۸۸
۱۰	۲۱۲۸۰۴۴۴۰۴	۱۳۹۲۱۱	۱۹۶/۲۲

جدول ۶. مقایسه توابع هدف و زمان اجرای حاصل از الگوریتم پیشنهادی و حل دقیق

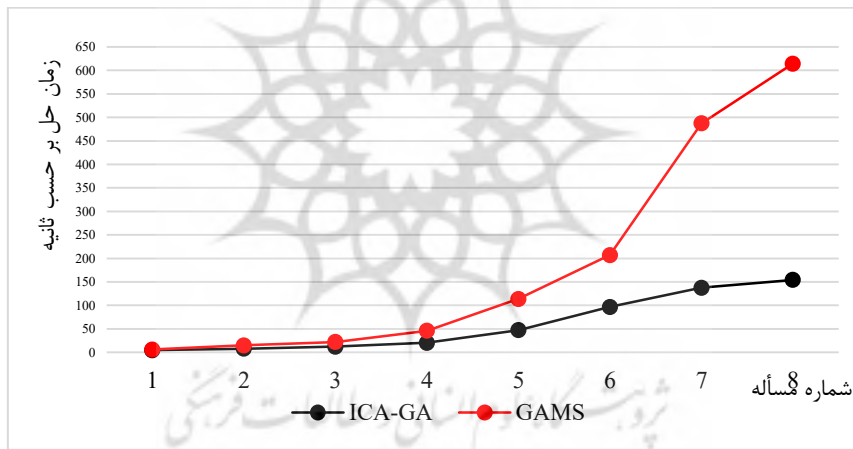
مقایسه زمان اجرا	مقایسه تابع هدف دوم	مقایسه تابع هدف اول	شماره مسئله
	$\phi_2 = 1 - \frac{Meta-GAMS}{GAMS}$	$\phi_1 = 1 - \frac{Meta-GAMS}{GAMS}$	
۰/۷۵۷۷	۱	۱	۱
۰/۵۲۷۹	۱	۱	۲
۰/۵۵۳۸	۱	۱	۳
۰/۴۴۶۷	۰/۹۷۸۰۶۹	۰/۹۷۰۳۶۴	۴
۰/۴۱۵۳	۱	۱	۵
۰/۴۶۵۷	۰/۹۶۴۰۶۸	۰/۹۶۳۷۵۲	۶
۰/۲۸۲۳	۰/۹۷۰۰۴۵	۰/۹۷۲۲۹	۷
۰/۲۵۰۸	۰/۹۵۲۳۶	۰/۹۴۶۰۴۳	۸
۰/۲۳۱۷	۰/۹۷۷۲۲۸	۰/۹۷۰۲۹۸	۹
۰/۲۲۱۴	۰/۹۴۶۱۹۶	۰/۹۵۸۱۲۳	۱۰
۰/۴۱۵۳	۰/۹۷۸۸۵	۰/۹۷۸۰۹	میانگین

عملکرد نسبی الگوریتم فرالبتکاری پیشنهادی در حل مسایل کوچک و متوسط در مقایسه با حل دقیق در دو محور بهینگی و زمان اجرا در جدول ۵ آورده شده است. مشاهده می‌شود که الگوریتم فرالبتکاری توانسته است در زمینه حل مسایل کوچک و متوسط به طور میانگین به تقریباً بیش از ۹۷ درصد از بهینگی در ۰/۴۱ از زمان حل دقیق دست یابد. هم‌چنین از جدول فوق مشخص می‌گردد که در چهار مورد از هشت مسئله‌ی نمونه، جواب نهایی الگوریتم فرالبتکاری بر حل دقیق آن منطبق شده است که این نتایج حاکی از عملکرد دقیق و کارایی بالای الگوریتم فرالبتکاری پیشنهادی است. در ادامه برای مقایسه مقدادیر تابع هدف و زمان حل الگوریتم فرالبتکاری پیشنهادی و حل دقیق در حل مسایل نمونه با سایز کوچک و متوسط به ترتیب از شکل‌های ۴ و ۵ استفاده شده است.

شکل ۴. شکاف بهینگی (بهینگی نسبی) الگوریتم فرابتکاری پیشنهادی



شکل ۵. مقایسه زمان حل الگوریتم فرابتکاری و حل دقیق



براساس نتایج به دست آمده، چنین استنباط می‌شود که از توانایی بهینه‌یابی الگوریتم فرابتکاری در قیاس با حل دقیق با افزایش ابعاد مسئله به صورت جزئی کاسته شده و در ازای آن سرعت بهینه‌یابی الگوریتم فرابتکاری در قیاس با حل دقیق به شدت افزایش می‌یابد. انتظار می‌رود که با افزایش پیچیدگی مسائل، تفاوت بین عملکرد دو روش حل بیش از پیش نمایان گردد. به عبارت دیگر مشاهده می‌شود که با رشد ابعاد مسائل نمونه نسبت بهینگی و زمان حل الگوریتم‌های فرابتکاری در مقایسه با حل دقیق به طور همزمان کاهش

می‌یابند. به طور کلی عملکرد الگوریتم فرالبتکاری ارایه شده در هر دو محور بهینگی جواب‌ها و زمان حل بسیار مطلوب ارزیابی می‌شود. در ادامه با استفاده از الگوریتم پیشنهادی به حل چند مسئله در ابعاد بزرگ پرداخته خواهد شد.

حل مسایل در ابعاد بزرگ توسط الگوریتم فرالبتکاری پیشنهادی

در بخش قبلی به اعتبارسنجی الگوریتم تلفیقی رقابت استعماری و ژنتیک از طریق مقایسه نتایج آن با نتایج حل دقیق پرداخته شد و کارایی و اثربخشی آن تأیید شد. در این بخش از الگوریتم فرالبتکاری پیشنهادی برای حل سه مسئله در ابعاد بزرگ بهره گرفته می‌شود. ابعاد مسایل بزرگ در جدول ۷ آورده شده است. حد زمانی برای نرم‌افزار گمس ۲۵۰۰ ثانیه در نظر گرفته شده و همچنین شرط توقف الگوریتم پیشنهادی قبل از همگرا شدن نیز ۲۵۰۰ ثانیه در نظر گرفته می‌شود. در جدول ۸ نتایج حاصل از اجرای مسایل بزرگ در نرم‌افزار گمس و الگوریتم پیشنهادی نشان داده شده است.

جدول ۷. ابعاد مسائل بزرگ

شماره مسئله	زیاله عفونی	بیمارستان	تکنولوژی پالایش	مرکز بازیافت	مرکز دور ریز	وسایط نقلیه	دوره زمانی
۱۱	۵	۱۱	۵	۶	۵	۷	۸
۱۲	۶	۱۱	۶	۷	۶	۷	۱۰
۱۳	۶	۱۲	۷	۸	۷	۸	۱۲
۱۴	۷	۱۲	۷	۸	۷	۸	۱۴
۱۵	۷	۱۳	۷	۸	۷	۱۰	۱۶
۱۶	۷	۱۲	۷	۸	۷	۷	۱۸
۱۷	۸	۱۳	۷	۸	۷	۱۰	۲۰
۱۸	۸	۱۴	۸	۹	۸	۸	۱۲
۱۹	۸	۱۴	۸	۹	۸	۸	۲۲

جدول ۸ نتایج حاصل از حل مسایل در ابعاد بزرگ توسط الگوریتم فرابتکاری و حل دقیق

شماره	ICA-GA		GAMS		دلیل توقف		
	تابع هدف ۱	تابع هدف ۲ زمان حل	تابع هدف ۱	تابع هدف ۲ زمان حل			
مسأله	ICA-GA	GAMS	ICA-GA	GAMS			
۱۱	همگرایی حد زمانی	۸۷۷	۱۴۴۲۱۵	۳۷۵۲۰۴۸۴۲۲	۲۵۰۰	۱۵۰۲۲۰	۳۹۳۹۸۲۰۲۶۴
۱۲	همگرایی حد زمانی	۱۹۶۴	۱۴۹۹۳۱	۴۱۲۸۹۸۷۷۱۰	۲۵۰۰	۱۶۱۲۱۵	۴۳۹۲۵۴۰۱۱۶
۱۳	همگرایی حد زمانی	۲۱۴۸	۱۸۸۶۹۴	۵۴۷۲۲۳۰۹۲۴	-	-	-
۱۴	همگرایی حد زمانی	۲۳۸۹	۱۹۶۱۴۴	۶۵۹۲۳۲۱۶۷۱	-	-	-
۱۵	حد زمانی Out of memory	۲۵۰۰	۲۱۸۰۰۷	۷۱۱۰۹۷۱۲۴۴	-	-	-
۱۶	حد زمانی Out of memory	۲۵۰۰	۲۲۵۶۶۳	۷۹۴۴۳۸۴۵۶۸	-	-	-
۱۷	حد زمانی Out of memory	۲۵۰۰	۲۴۴۸۱۲	۹۰۳۲۵۴۸۸۵۴	-	-	-
۱۸	حد زمانی Out of memory	۲۵۰۰	۲۴۸۶۶۵	۹۸۶۲۲۰۰۸۴۲	-	-	-

همان‌طور که در جدول ۸ مشاهده می‌شود، نرم‌افزار گمس قادر به حل مسأله شماره ۱۳ نبوده و قبل از رسیدن به یک جواب شدنی، حافظه موقت سیستم اشباع شده و دلیل این امر رشد نمایی و پیچیدگی بالای مسأله است. همچین دلیل توقف نرم‌افزار گمس در مورد مسایل ۱۱ و ۱۲، محدودیت زمانی ۲۵۰۰ ثانیه است که بر روی نرم‌افزار اعمال شده و قبل از همگرایی حل دقیق اتفاق افتاده است. این در حالی است که الگوریتم فرابتکاری پیشنهادی در مسأله ۱۳ که نرم‌افزار گمس قادر به حل آن نبود در حد زمانی ۲۵۰۰ ثانیه به یک جواب شدنی قابل قبول دست یافته است و در مورد مسایل ۱۱ و ۱۲ عملکرد بهتری نسبت به حل دقیق داشته و توانسته در این مسایل به ترتیب بیش از ۴ و ۶ درصد بهبود عملکرد نسبت به حل دقیق داشته باشد. این امر حاکی از آن است که در مسایل ابعاد بزرگ که نرم‌افزار حل دقیق از حل آن عاجز است، الگوریتم پیشنهادی عملکرد قابل قبول و رضایت‌بخشی ارایه می‌دهد.

جهت بررسی جواب‌های تولید شده توسط الگوریتم پیشنهادشده، مسأله توسط دو الگوریتم دیگر نیز حل شده است. این دو الگوریتم شبیه‌سازی تبرید^۱ و بهینه‌سازی تجمعی ذرات^۲ هستند. نتایج اجرای این الگوریتم‌ها از چند جهت مورد بررسی قرار گرفته است.

-
1. Simulated annealing (SA)
 2. Particle swarm optimization (PSO)

تنها مسایل اندازه بزرگ توسط الگوریتم‌ها حل شده و به ازای هر مساله، هر یک از الگوریتم‌ها ۵ مرتبه اجرا شده و نتایج به صورت میانگین در جدول ذیل گزارش شده است. مطابق این نتایج، الگوریتم شبیه‌سازی تبرید به صورت سریع‌تر اجرا می‌شود ولی جواب‌های آن دارای کیفیت پایین‌تری نسبت به دو الگوریتم دیگر می‌باشد. از طرف دیگر زمان اجرای الگوریتم بهینه‌سازی تجمعی ذرات به صورت ملموسی بیشتر بوده ولی جواب‌های آن مشابه الگوریتم ارائه شده در این مقاله می‌باشد.

جدول ۹. نتایج حاصل از مقایسه الگوریتم پیشنهاد شده با الگوریتم‌های شبیه‌سازی تبرید و بهینه‌سازی

تجمعی ذات

مسئله	ICA-GA			SA			PSO		
	تابع هدف زمان		تابع هدف ۱	تابع هدف زمان حل		تابع هدف ۱	تابع هدف زمان		تابع هدف ۱
	تابع هدف ۱	تابع هدف ۲	زمان حل	تابع هدف ۱	زمان حل	تابع هدف ۱	زمان حل	تابع هدف ۱	زمان حل
۱۱	۳۷۵۲۰۴۸۴۳۲	۱۴۴۲۱۵	۱۴۴۰۸۹	۳۷۵۲۰۴۷۳۵۸	۸۰۰,۸۷	۱۴۳۰,۸۶	۳۷۵۲۲۵۵۸۶۲	۸۷۷	۱۵۰,۵
۱۲	۴۱۲۸۹۸۷۷۱۰	۱۴۹۹۳۱	۱۴۹۶۳۲	۴۰,۹۶۲۳۱۸۳۰	۱۸۶۸	۱۵۰,۸۹	۴۳۲۶۶۳۲۰,۱۸	۱۹۶۴	۲۱۰,۳
۱۳	۵۴۷۲۲۳۰,۹۲۴	۱۸۹۰,۵۹	۵۴۷۲۳۶۶۹۵۰	۲۰۴۹	۱۹۱۰,۰۲	۵۴۷۴۴۰۰,۳۸۱	۲۱۴۸	۱۸۸۶,۹۴	۲۳۶۰
۱۴	۶۵۹۲۳۲۱۶۷۱	۱۹۶۱۴۴	۱۹۶۰,۱۸	۶۶۰,۹۵۰,۰۱۲۴	۲۲۱۰	۱۹۷۰,۵۳	۶۶۳۰,۱۴۲۵,۷۶	۲۳۸۹	۲۵۰۰
۱۵	۷۱۱۰,۹۷۱۲۴۴	۲۱۹۱۸۰	۷۱۱۲۱۰,۲۳۶۰	۲۴۴۰	۲۱۸۹,۵۸	۷۱۱۱,۹۶۶۲۴۸	۲۵۰۰	۲۱۸۰,۰۷	۲۵۰۰
۱۶	۷۹۴۴۳۸۴۵۶۸	۲۲۶۲۲۳	۷۹۵۶۳۲۱۴۰۲	۲۵۰۰	۲۲۷۰,۹۱	۷۸۹۴۲۸۹۶۹۰	۲۵۰۰	۲۲۵۶,۶۳	۲۵۰۰
۱۷	۹۰۳۲۵۴۸۸۵۴	۲۴۵۹۱۰	۹۰,۳۲۵۴۹۶۶۲	۲۵۰۰	۲۴۶۶,۵۸	۹۰,۹۰,۵۶۵۴۲۱	۲۵۰۰	۲۴۴۸,۱۲	۲۵۰۰
۱۸	۹۸۶۲۲۰۰,۸۴۲	۲۴۹۳۲۱	۹۸۶۲۰,۲۲۱۰	۲۵۰۰	۲۵۰,۸۱۰	۹۹,۰۸,۰۳۸۸۱۰	۲۵۰۰	۲۴۸۶,۶۵	۲۵۰۰

از سوی دیگر، مقایسه بین انحراف معیارهای سه الگوریتم نشان می‌دهد که الگوریتم شبیه‌سازی تبرید همگرایی مناسبی نداشته و جواب‌هایی که تولید می‌کند هرچند برای یک مساله، دارای تفاوت زیادی می‌باشد. اما الگوریتم پیشنهاد شده انحراف معیار کمتری دارد و این بدین دلیل است که از روش ترکیبی برای آن استفاده شده و به خوبی می‌تواند فضای جواب را جستجو کند. شایان ذکر است که این معیار در کنار متوسط جواب‌های تولید شده (جدول ۹) قابل تفسیر می‌باشد. نتایج این مقایسه در جدول ۱۰ نشان داده شده است.

جدول ۱۰. نتایج حاصل از مقایسه انجراف معیار جواب‌های الگوریتم‌های شبیه‌سازی تبرید و بهینه‌سازی تجمعی ذارت

PSO	SA	ICA-GA	الگوریتم
۹۰۹۷۳۳۴	۱۰۰۸۱۱۱۹	۸۶۹۸۴۶۲	تابع هدف ۱
۱۷۶۰	۱۸۱۲	۱۶۶۷	تابع هدف ۲

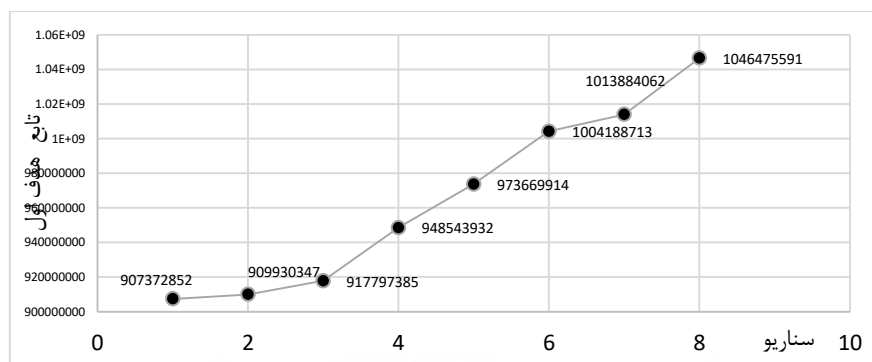
تحلیل حساسیت

در این بخش به منظور بررسی صحت و دقت عملکرد مدل پیشنهادی و اعتبارسنجی نتایج حاصل از اجرای مدل، حساسیت مدل نسبت به تغییر در پارامتر ضرایب توابع هدف به ازای مسئله شماره ۳ سنجیده خواهد شد. به دلیل این که هر دو تابع هدف مدل پیشنهادی از نوع کمینه‌سازی هستند، انتظار می‌رود که با افزایش ضریب تابع هدف اول و کاهش ضریب تابع هدف دوم، مقدار تابع هدف اول بدتر نشود (یا ثابت بماند یا کاهش یابد) و مقدار تابع هدف دوم نیز بهتر نشود (یا ثابت بماند یا افزایش یابد). همچنین با افزایش ضریب تابع هدف دوم و کاهش ضریب تابع هدف اول، انتظار می‌رود که مقدار تابع هدف اول بهتر نشود و مقدار تابع هدف دوم بدتر نشود. در جدول ۱۰ مقادیر توابع هدف به ازای ضرایب توابع هدف مختلف آورده شده است. همچنین در شکل ۶ و ۷ به ترتیب روند تغییرات تابع هدف اول و دوم به ازای سناریوهای مختلف نشان داده شده است و در شکل ۸ مرز تصمیم‌گیری به ازای سناریوهای مختلف (مرز پارتو) نشان داده شده است تا تصمیم‌گیرنده براساس این مرز، سناریو دلخواه و مورد نظر خود را جهت تصمیم‌گیری انتخاب نماید.

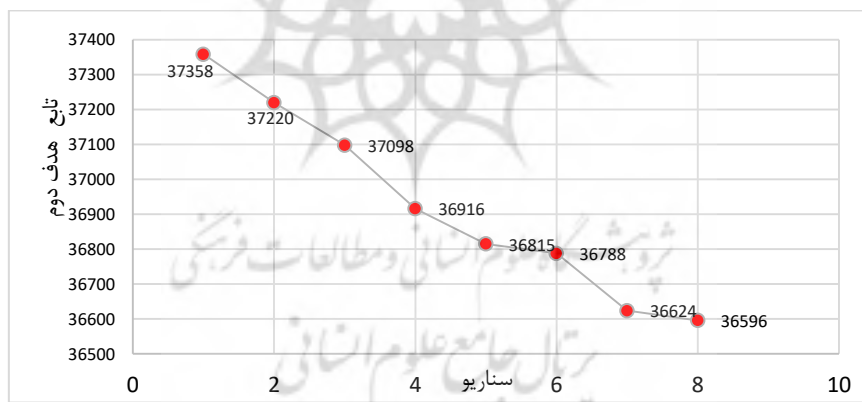
جدول ۱۰: مقادیر تابع هدف به ازای تحلیل حساسیت ضرایب توابع هدف

شماره سناریو	w_1	w_2	تابع هدف اول	تابع هدف دوم	شماره سناریو
۱	۰/۷۵	۰/۲۵	۹۰۷۳۷۲۸۵۲	۳۷۳۵۸	۳۷۳۵۸
۲	۰/۷	۰/۳	۹۰۹۹۳۰۳۴۷	۳۷۲۲۰	۳۷۲۲۰
۳	۰/۶۵	۰/۳۵	۹۱۷۷۹۷۳۸۵	۳۷۰۹۸	۳۷۰۹۸
۴	۰/۶	۰/۴	۹۴۸۵۴۳۹۳۲	۳۶۹۱۶	۳۶۹۱۶
۵	۰/۵۵	۰/۴۵	۹۷۳۶۶۹۹۱۴	۳۶۸۱۵	۳۶۸۱۵
۶	۰/۵	۰/۵	۱۰۰۴۱۸۸۷۱۳	۳۶۷۸۸	۳۶۷۸۸
۷	۰/۴۵	۰/۵۵	۱۰۱۳۸۸۴۰۶۲	۳۶۶۲۴	۳۶۶۲۴
۸	۰/۴	۰/۶	۱۰۴۶۴۷۵۵۹۱	۳۶۵۹۶	۳۶۵۹۶

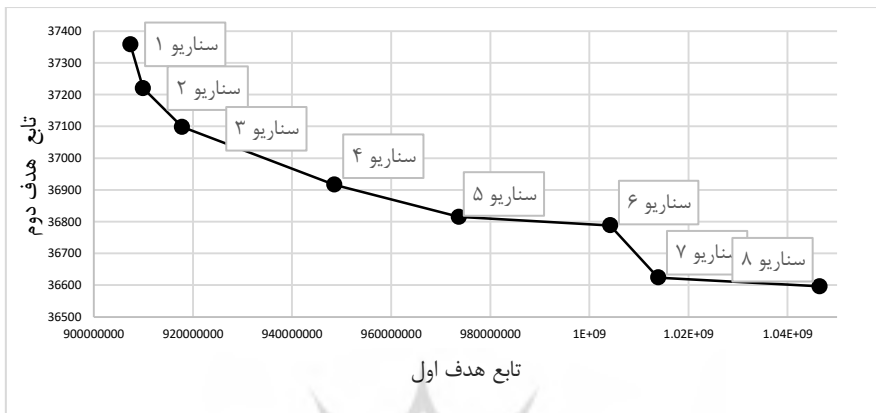
شکل ۶. روند تغییرات تابع هدف اول به ازای تحلیل حساسیت ضرایب توابع هدف



شکل ۷. روند تغییرات تابع هدف دوم به ازای تحلیل حساسیت ضرایب توابع هدف



شکل ۸ مرز تصمیم‌گیری (پارتونی) حاصل از تحلیل حساسیت ضرایب توابع هدف



همان‌طور که در جدول ۱۲ و اشکال ۶ تا ۸ مشاهده می‌شود، با افزایش ضریب تابع هدف اول مقدار آن تابع هدف کاهش (بهبود) یافته و با کاهش ضریب آن، مقدار تابع هدف مذکور افزایش یافته است. همچنین با کاهش ضریب تابع هدف تابع هدف دوم، مقدار تابع هدف بهتر نشده و با افزایش آن مقدار تابع هدف بدتر نشده است که این نتایج دقیقاً منطبق بر انتظار منطقی ما از عملکرد مدل پیشنهادی است. نکته دیگری که در شکل‌های ۶ تا ۸ نهفته است مربوط به تضاد بین توابع هدف است. همان‌طور که در شکل ۶ و ۷ مشاهده می‌شود در هر سیناریو که تابع هدف اول افزایش یافته است متناسب با آن تابع هدف دوم کاهش یافته است و برعکس. تضاد بین این دو تابع هدف به طور واضح در شکل ۸ نیز به تصویر کشیده شده است. بنابراین بر اساس نتایج به دست آمده و عملکرد منطقی مدل در فرایند تحلیل حساسیت، صحت و اعتبار مدل تأیید می‌شود.

برداشت‌های مدیریتی

در این مقاله، یک مدل ریاضی برای طراحی یک شبکه جهت مدیریت و جمع‌آوری پسماندهای پزشکی توسعه داده شد. اگرچه برای اعتبارسنجی مدل ارایه شده، از داده‌های شبیه‌سازی شده استفاده شده، اما این مدل می‌تواند در شرایط مختلفی کاربرد داشته باشد و نتایج حاصل از آن می‌تواند به عنوان سیستم پشتیبان تصمیم در تصمیم‌گیری‌ها به مدیران و

صاحبان صنایع کمک نماید که برخی از آن‌ها در ادامه مورد بررسی قرار می‌گیرد. یکی از کاربردهای مدل ارایه شده، امکان جمع‌آوری پسماندهای بیمارستانی در شرایط اپیدمی ویروس کرونا است که در برخی از مقالات مشابه مانند کارگر و همکاران (۲۰۲۰) و نیک ضمیر و برادران (۲۰۲۰) نیز مورد توجه قرار گرفته است. همچنین این مدل برای جمع‌آوری مواد خطرناک تولیدشده توسط صنایع نیز کاربرد دارد؛ چرا که تابع هدف دوم این مقاله مختص مدیریت مواد خطرناک طراحی شده است.

بحث و نتیجه‌گیری

در این مقاله یک مدل ریاضی عدد صحیح مختلط خطی دوهدfe شامل اهداف کمینه‌سازی هزینه‌های زنجیره و کمینه‌سازی ریسک جمعیت در معرض انتشار آلودگی ناشی از زباله‌های عفونی توسعه داده شد. مدل پیشنهادی به مکان‌یابی مراکز پالایش و انتخاب نوع تکنولوژی پالایش، مکان‌یابی مراکز بازیافت و دورریز پرداخته و همزمان به مسیریابی خودروهای جمع‌آوری زباله‌های عفونی از بیمارستان‌ها می‌پردازد. سپس از روش الپی‌تریک جهت تک‌هدفه کردن مدل دوهدfe ارایه شده بهره گرفته شد و مدل پیشنهادی به ازای داده‌های شبیه‌سازی شده در ابعاد کوچک و متوسط در نرم‌افزار گمس اجرا شد. سپس یک الگوریتم فرالبتکاری تلفیقی مبتنی بر رقبابت استعماری و رزتیک توسعه داده شد و از طریق مقایسه نتایج آن با نتایج حل دقیق در ابعاد کوچک و متوسط، اعتبار الگوریتم پیشنهادی مورد سنجش قرار گرفت. از دو معیار بهینگی جواب‌ها و زمان اجرا، برای این مقایسه بهره گرفته شد. الگوریتم پیشنهادی در ۱۰ مسئله مورد بررسی توانست به طور میانگین به بیش از ۹۷٪ از بهینگی جواب‌ها در ۴۱٪ از زمان حل دقیق دست یابد که این نتایج مؤید کارایی و اعتبار الگوریتم پیشنهادی بود. سپس ۸ مسئله در ابعاد بزرگ شبیه‌سازی شد و عملکرد الگوریتم پیشنهادی با عملکرد حل دقیق مورد مقایسه قرار گرفت و تعیین شد که الگوریتم پیشنهادی در ابعاد بزرگ بسیار کارا و اثربخش است. در این تحقیق از معیار جمعیت موجود در مسیر عبوری توسط وسیله نقلیه برای در نظر گرفتن ریسک انتشار بیماری‌های عفونی استفاده شد. این در حالی است که معیارهای دیگری از جمله، مدت زمان عبور خودرو از مسیر مورد نظر، شعاع انتشار آلودگی، نوع فرد در معرض انتشار (گروه حساس، گروه غیرحساس و کودکان) و غیره پارامترهایی هستند که در نظر گرفتن آن‌ها می‌تواند مدل را به دنیای واقعی تزدیکر نماید که پیشنهاد می‌شود در تحقیقات آتی مورد مطالعه قرار گیرد.

تعارض منافع
تعارض منافع ندارم.

ORCID

Mohammad Nizkamir	 http://orcid.org/0000-0001-5495-1926
Vahid Baradaran	 http://orcid.org/0000-0001-5385-629X
Yunes Panahi	 http://orcid.org/0000-0002-2504-8356

منابع

جقتایی نوابی، مهدی، محمودیان، وحید، فضلی، مهدی، بزرگی امیری، علی. (۱۳۹۵). یک مدل چندهدفه مکانیابی-مسیریابی برای احداث مراکز پالایش، بازیافت و دفع زباله‌های بیمارستانی، نشریه بین‌المللی مهندسی صنایع و مدیریت تولید، ۲۷، (۲)، ۲۶۲-۲۷۴.

References

- Alagöz, A. Z., & Kocasoy, G. (2008). Determination of the best appropriate management methods for the health-care wastes in Istanbul, *Waste Management*, 28(7), 1227-1235.
- Al-Khatib, I. A., & Sato, C. (2009). Solid health care waste management status at health care centers in the West Bank-Palestinian Territory, *Waste management*, 29(8), 2398-2403.
- Altin, S., Altin, A., Elevli, B., & Cerit, O. (2003). Determination of hospital waste composition and disposal methods: a case study, *Polish Journal of Environmental Studies*, 12(2), 251-255.
- Askarian, M., Heidarpoor, P., & Assadian, O. (2010). A total quality management approach to healthcare waste management in Namazi Hospital, Iran, *Waste management*, 30(11), 2321-2326.
- Atashpaz-Gargari, E., & Lucas, C. (2007, September). Imperialist competitive algorithm: an algorithm for optimization inspired by imperialistic competition, In *Evolutionary computation*, 2007. CEC 2007. IEEE Congress on (pp. 4661-4667). IEEE.
- Babaee Tirkolaee, E., Abbasian, P., & Weber, G. W. (2020). Sustainable fuzzy multi-trip location-routing problem for the epidemic outbreak of the novel Coronavirus (COVID-19). *Science of The Total Environment*, 143607.
- Babaee Tirkolaee, E., Abbasian, P., Soltani, M., & Ghaffarian, S. A. (2019). Developing an applied algorithm for multi-trip vehicle routing problem with time windows in urban waste collection: A case study, *Waste Management & Research*, 37(1_suppl), 4-13.
- Chartier, Y. (Ed.). (2014). Safe management of wastes from health-care activities. World Health Organization.
- Ferronato, N., Alarcón, G. P. P., Lizarazu, E. G. G., & Torretta, V. (2020). Assessment of municipal solid waste collection in Bolivia:

- Perspectives for avoiding uncontrolled disposal and boosting waste recycling options, *Resources, Conservation and Recycling*, 105234.
- Gergin, Z., Tunçbilek, N., & Esnaf, S. (2019). Clustering Approach Using Artificial Bee Colony Algorithm for Healthcare Waste Disposal Facility Location Problem, *International Journal of Operations Research and Information Systems (IJORIS)*, 10(1), 56-75.
- Hachicha, W., Mellouli, M., Khemakhem, M., & Chabchoub, H. (2014). Routing system for infectious healthcare-waste transportation in Tunisia: A case study, *Environmental Engineering and Management Journal*, 13(1), 21-29.
- Hajar, Z., Btissam, D., & Mohamed, R. (2018, April). Onsite medical waste multi-objective vehicle routing problem with time windows, In *2018 4th International Conference on Logistics Operations Management (GOL)*, 1-5. IEEE.
- Homayouni, Z., & Pishvaee, M. S. (2020). A bi-objective robust optimization model for hazardous hospital waste collection and disposal network design problem, *Journal of Material Cycles and Waste Management*, 22(6), 1965-1984.
- Kargar, S., Pourmehdi, M., & Paydar, M. M. (2020). Reverse logistics network design for medical waste management in the epidemic outbreak of the novel coronavirus (COVID-19), *Science of The Total Environment*, 746, 141183.
- Khalifehzadeh, S., Fakhrzad, M. B., Mehrjerdi, Y. Z., & Hosseini_Nasab, H. (2019). Two effective metaheuristic algorithms for solving a stochastic optimization model of a multi-echelon supply chain, *Applied Soft Computing*, 76, 545-563.
- Komilis, D., Katsafaros, N., & Vassilopoulos, P. (2011). Hazardous medical waste generation in Greece: case studies from medical facilities in Attica and from a small insular hospital, *Waste Management & Research*, 29(8), 807-814.
- Lin, R. H. (2012). An integrated model for supplier selection under a fuzzy situation, *International Journal of Production Economics*, 138(1), 55-61.
- Mantzaras, G., & Voudrias, E. A. (2017). An optimization model for collection, haul, transfer, treatment and disposal of infectious medical waste: Application to a Greek region, *Waste Management*, 69, 518-534.
- Nazari-Shirkouhi, S., Eivazy, H., Ghodsi, R., Rezaie, K., & Atashpaz-Gargari, E. (2010). Solving the integrated product mix-outsourcing problem using the imperialist competitive algorithm, *Expert Systems with Applications*, 37(12), 7615-7626.
- Nikzamir, M., & Baradaran, V. (2020). A healthcare logistic network considering stochastic emission of contamination: Bi-objective model and solution algorithm, *Transportation Research Part E: Logistics and Transportation Review*, 142, 102060.
- Nolz, P. C., Absi, N., & Feillet, D. (2014). A stochastic inventory routing problem for infectious medical waste collection, *Networks*, 63(1), 82-95.

- Pakzad-Moghaddam, S. H., Mina, H., & Mostafazadeh, P. (2019). A novel optimization booster algorithm, *Computers & Industrial Engineering*, 136, 591-613.
- Pakzad-Moghaddam, S. H., Mina, H., & Tavakkoli-Moghaddam, R. (2014). An approach for modeling a new single machine scheduling problem with deteriorating and learning effects, *Computers & Industrial Engineering*, 78, 33-43.
- Qazvini, Z. E., Amalnick, M. S., & Mina, H. (2016). A green multi-depot location routing model with split-delivery and time window, *International Journal of Management Concepts and Philosophy*, 9(4), 271-282.
- Rabbani, M., Heidari, R., Farrokhi-Asl, H., & Rahimi, N. (2018). Using metaheuristic algorithms to solve a multi-objective industrial hazardous waste location-routing problem considering incompatible waste types, *Journal of Cleaner Production*, 170, 227-241.
- Shanmugasundaram, J., Soulalay, V., & Chettiyappan, V. (2012). Geographic information system-based healthcare waste management planning for treatment site location and optimal transportation routing, *Waste Management & Research*, 30(6), 587-595.
- Shi, L. H. (2009, September). A mixed integer linear programming for medical waste reverse logistics network design., 2009. ICMSE 2009, IEEE International Conference on In Management Science and Engineering, 1971-1975.
- Shih, L. H., & Chang, H. C. (2001). A routing and scheduling system for infectious waste collection, *Environmental Modeling & Assessment*, 6(4), 261-269.
- Thakur, V., Thakur, V., Ramesh, A., & Ramesh, A. (2017). Healthcare waste disposal strategy selection using grey-AHP approach, *Benchmarking: An International Journal*, 24(3), 735-749.
- Torabi, S. A., & Hassini, E. (2008). An interactive possibilistic programming approach for multiple objective supply chain master planning, *Fuzzy sets and systems*, 159(2), 193-214.
- Wichapa, N., & Khokhajaikiat, P. (2018). Solving a multi-objective location routing problem for infectious waste disposal using hybrid goal programming and hybrid genetic algorithm, *International Journal of Industrial Engineering Computations*, 9(1), 75-98.
- Zimmermann, H. J. (1978). Fuzzy programming and linear programming with several objective functions, *Fuzzy sets and systems*, 1(1), 45-55.
- Joghtaei, M., Mahmoodian, V., Fazli, M., & Bozorgi-Amiri, A. (2016). A Multi Objective Location-Routing Model for Treatment, Recycling and Disposal Centers of Hospital Wastes. *International Journal of Industrial Engineering & Production Management*, 27(2), 262-274. [In Persian].

In Persian

- Joghtaei, M., Mahmoodian, M., Fazli, M., & Bozorgi-Amiri, A. (2016). *A Multi Objective Location-Routing Model for Treatment, Recycling and Disposal Centers of Hospital Wastes*, *International Journal of Industrial Engineering and Production Management*, 27(2), 261-274.